

2018

Weekly / Semanal **Influenza Report EW 44/ Reporte de Influenza SE 44**

Regional Update: Influenza & Other Respiratory Viruses /
Actualización Regional: Influenza y Otros virus respiratorios

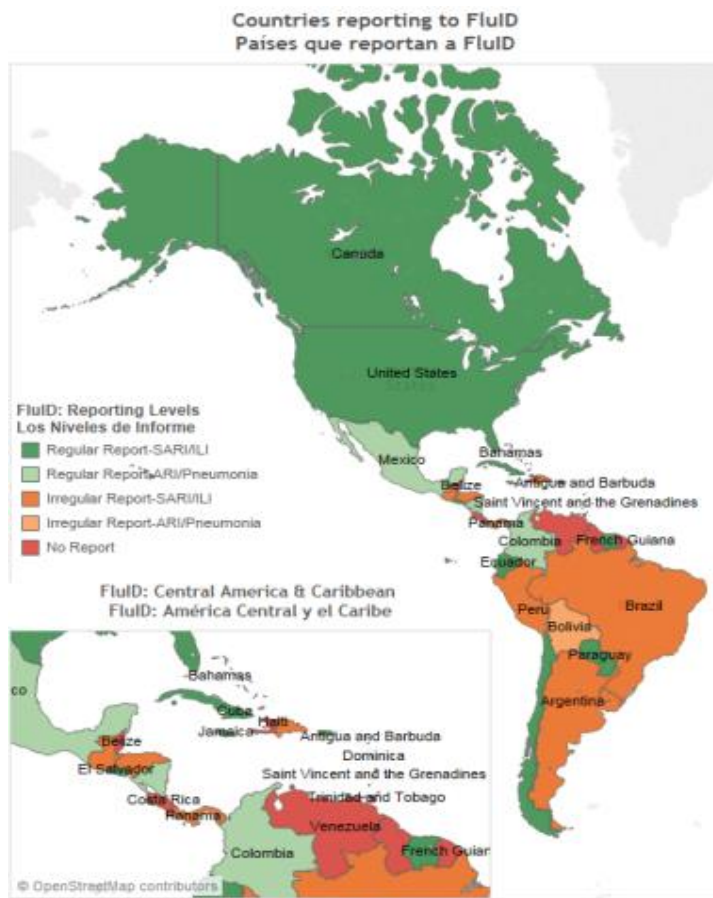


**November 13, 2018
13 de Noviembre de 2018**

*Data as of November 9, 2018/
Datos hasta 9 de noviembre de 2018*

*Prepared by PHE/IHM/Influenza Team/
Realizado por PHE/IHM/Equipo de Influenza*

FluID



FluNet



Map Production /Producción del mapa: PAHO/WHO, OPS/OMS.

Data Source / Fuente de datos:

Ministries of Health and National Influenza Centers of Member States Reports to the informatics global platforms [FluNet](#) and / Informe de los Ministerios de Salud y los Centros Nacionales de Influenza de los Estados Miembros a las plataformas informáticas nacionales de [FluNet](#) y [FluID](#)

[Go to Index/](#)
[Ir al Índice](#)

WEEKLY REPORT DATA SOURCES

The information presented in this update is based on data provided by Ministries of Health and National Influenza Centers of Member States to the informatics global platforms
http://www.who.int/influenza/gisrs_laboratory/flunet/en/
and http://www.who.int/influenza/surveillance_monitoring/fluid/en/ ;
and reports/weekly bulletins that Ministries of Health published on its website or shared with PAHO/WHO.

La información presentada en esta actualización se obtiene a partir de los datos notificados por los Ministerios de Salud y los Centros Nacionales de Influenza de los Estados Miembros a las plataformas informáticas globales de la OPS/OMS: [FluNet](#) y [Fluid](#); y de los informes/boletines semanales que los Ministerios de Salud publican en sus páginas web o comparten con OPS/OMS.

PAHO INFLUENZA LINKS

PAHO interactive data / Datos interactivos de la OPS:

PAHO FluNet: http://ais.paho.org/php/viz/ed_flu.asp

PAHO Fluid: <http://ais.paho.org/php/viz/flumart2015.as>

Influenza Regional Reports / Informes regionales de influenza:

In English: <http://www.paho.org/influenzareport>

En español: www.paho.org/reportesinfluenza

Severe acute respiratory infections network - SARInet
Red de las infecciones respiratorias agudas graves - SARInet:

<http://www.sarinet.org>

[Go to Index/](#)
[Ir al Índice](#)

REPORT INDEX

ÍNDICE DE LA ACTUALIZACIÓN

Section	Content	Page
1	<u>Weekly Summary / Resumen Semanal</u>	5
2	<u>Overall Influenza and RSV circulation / Circulación general de los virus influenza y VSR</u>	6
3	<u>Weekly and Cumulative numbers / Números semanales y acumulados</u>	7
4	<u>Epidemiological and Virologic update by country / Actualización epidemiológica y virológica por país</u>	8
5	<u>Acronyms / Acrónimos</u>	31

WEEKLY SUMMARY (ENGLISH)

North America: Overall, influenza activity continued low in [Canada](#) and the [United States](#), with influenza A(H1N1)pdm09 and B co-circulating. In [México](#), increased influenza and SARI activity was reported with influenza A(H1N1)pdm09 and B co-circulating.

Caribbean: Influenza virus activity decreased, and low RSV activity was reported throughout most of the sub-region. In [Cuba](#) and [Haiti](#), influenza A(H1N1)pdm09 circulation was associated with increased SARI activity.

Central America: Epidemiological indicators remained at moderate levels and influenza circulation was reported to increase throughout the sub-region. In [Panama](#) and [Guatemala](#) RSV circulation continued elevated. In [Costa Rica](#), [El Salvador](#) and [Nicaragua](#), increased influenza A(H1N1)pdm09 and SARI activity was reported.

Andean Region: Overall influenza and other respiratory virus activity decreased in the sub-region. SARI activity increased with low influenza circulation in [Bolivia](#). In [Ecuador](#) and [Perú](#), influenza A(H1N1)pdm09 activity slightly increased with lower proportion of SARI hospitalizations. In [Venezuela](#), influenza A(H1N1)pdm09 predominated.

Brazil and Southern Cone: Influenza activity decreased at the seasonal levels throughout most of the sub-region and peaked later in [Paraguay](#), [Argentina](#) and [Uruguay](#). In [Brazil](#), influenza-associated SARI cases decreased associated with influenza A(H1N1)pdm09 detections. In [Paraguay](#), [Chile](#) and [Uruguay](#), SARI activity decreased related to influenza A(H3N2) and B.

Global: In the temperate zone of the northern hemisphere influenza activity remained at inter-seasonal levels. Increased influenza detections were reported in some countries of Southern and South-East Asia. In the temperate zones of the southern hemisphere, influenza activity returned to nearly inter-seasonal levels. Worldwide, seasonal influenza subtype A viruses accounted for the majority of detections.

RESUMEN SEMANAL (ESPAÑOL)

América del Norte: En general, la actividad de influenza continuó en niveles bajos en [Canadá](#) y los [Estados Unidos](#), con co-circulación de A(H1N1)pdm09 y B. En [México](#), se reportó un aumento en la actividad de influenza e IRAG con co-circulación de influenza A(H1N1)pdm09 y B.

Caribe: La actividad de influenza disminuyó y se reportó una actividad baja de VSR en la mayoría de la subregión. En [Cuba](#) y [Haití](#), la circulación de influenza A(H1N1)pdm09 se asoció con mayor actividad de IRAG.

América Central: Los indicadores epidemiológicos permanecieron en niveles moderados y la actividad de influenza presentó un aumento en la sub-región. En [Panamá](#) y [Guatemala](#) la circulación de VSR continuó elevada. En [Costa Rica](#), [El Salvador](#) y [Nicaragua](#), se reportó actividad aumentada de influenza A(H1N1)pdm09 e IRAG.

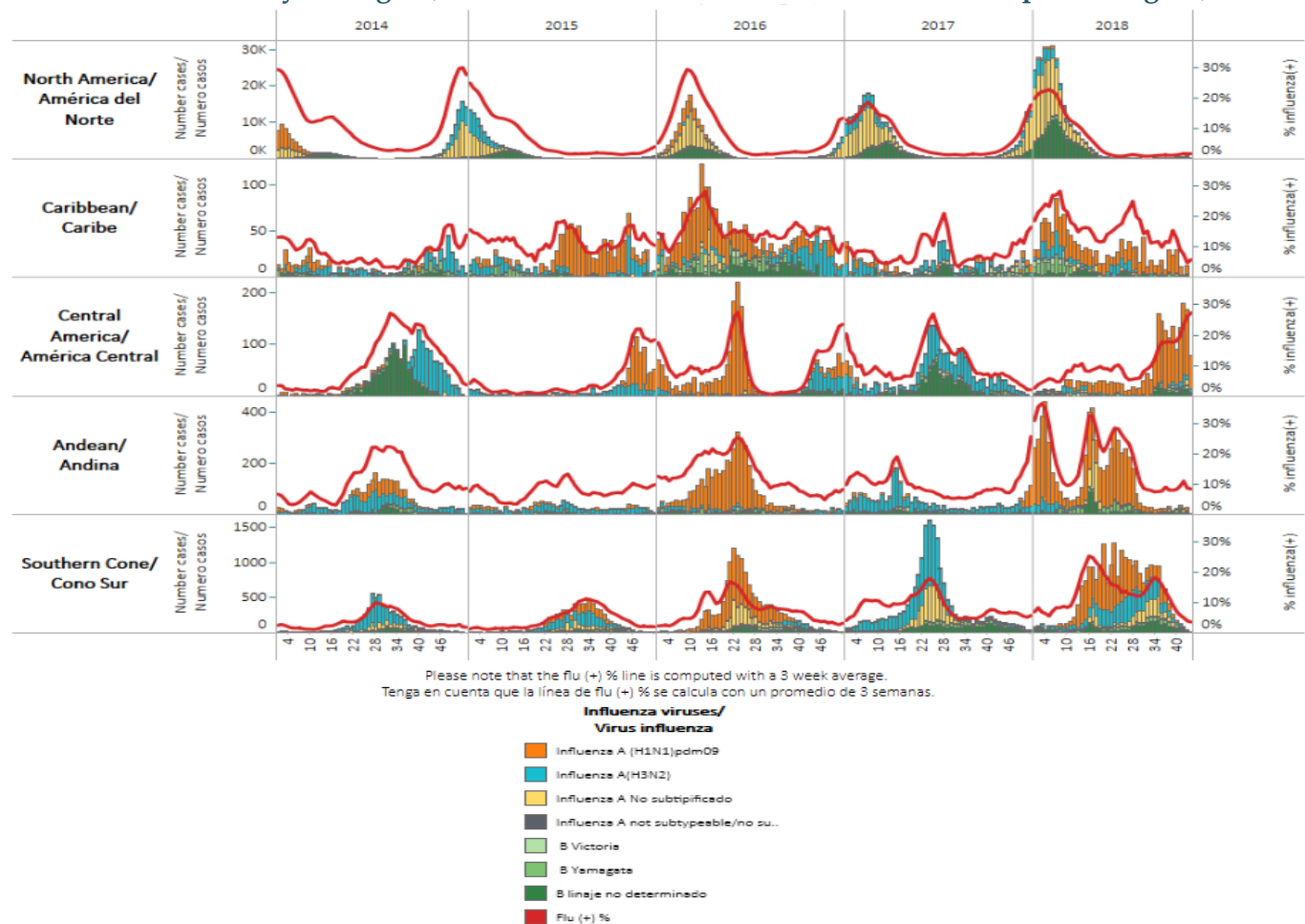
Sub-región Andina: La actividad general de influenza y otros virus respiratorios disminuyó en la sub-región. La actividad de IRAG aumentó con baja circulación de influenza en [Bolivia](#). En [Ecuador](#) y [Perú](#), la actividad de influenza A(H1N1)pdm09 aumentó ligeramente con menor proporción de hospitalizaciones por IRAG. En [Venezuela](#), predominó influenza A(H1N1)pdm09.

Brasil y Cono Sur: Los niveles de influenza disminuyeron a niveles estacionales en toda la sub-región y alcanzó su pico tardío en [Paraguay](#), [Argentina](#) y [Uruguay](#). En [Brasil](#), los casos de IRAG disminuyeron asociados a influenza A(H1N1)pdm09. En [Paraguay](#), [Chile](#), y [Uruguay](#), la actividad de IRAG disminuyó en relación a influenza A(H3N2) y B.

Global: En la zona templada del hemisferio norte, la actividad de influenza se mantuvo en niveles interestacionales. En algunos países de Asia meridional y sudoriental se notificó un aumento de las detecciones de influenza. En las zonas templadas del hemisferio sur, la actividad de influenza regresó a niveles casi inter-estacionales. En todo el mundo, los virus de subtipo A de influenza estacional representaron la mayoría de las detecciones.

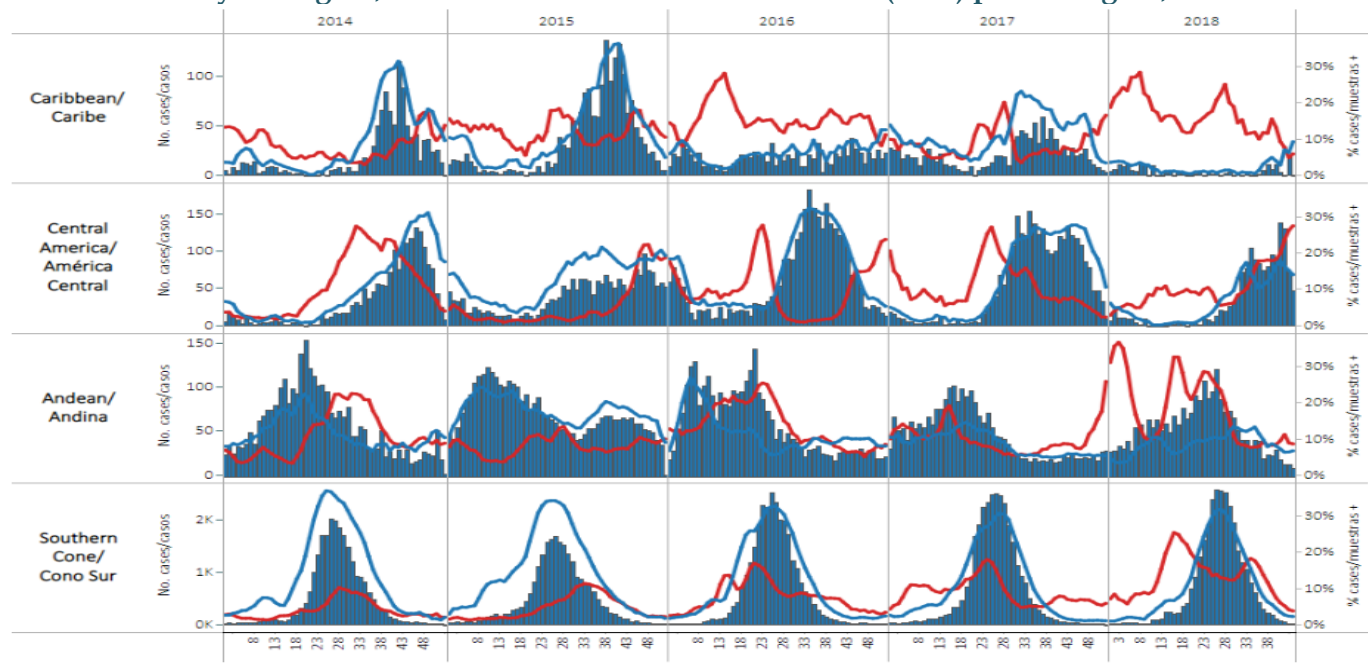
Influenza circulation by subregion, 2014-18

Circulación de virus influenza por subregión, 2014-18



Respiratory syncytial virus (RSV) circulation by subregion, 2014-18

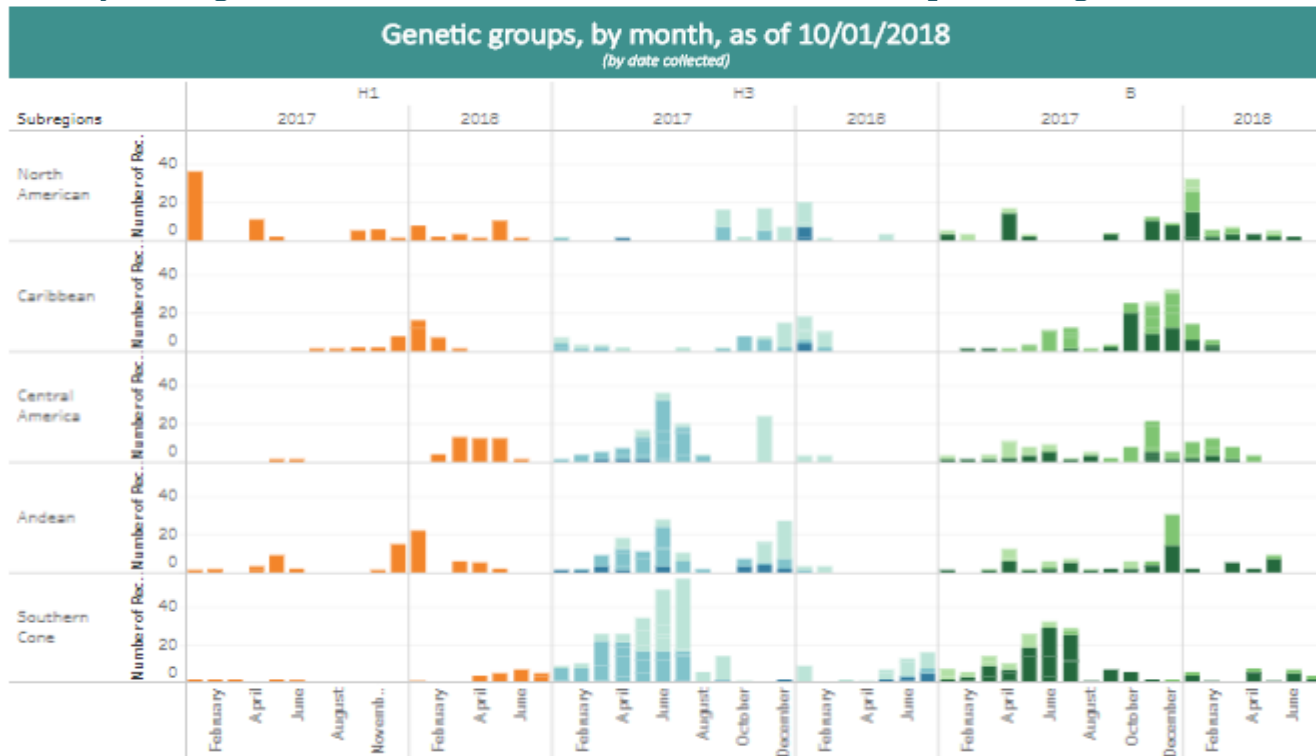
Circulación de virus sincicial respiratorio (VSR) por subregión, 2014-18



*To view more lab data, view [here](#). / Para ver mas datos lab, vea [aquí](#).

Genetic Characterization of Influenza Virus by Subregion, 2017-18

Caracterización Genética de los Virus Influenza por Subregión, 2017-18



These data are from the WHO –Collaborating Center at the U.S. CDC.
Estos datos son recolectados desde el CC de la OMS en el CDC de EE. UU.



Weekly and cumulative numbers of influenza and other respiratory virus, by country and EW, 2018¹ Números semanales y acumulados de influenza y otros virus respiratorios, por país y SE, 2018²

EW 44, 2018 / SE 44, 2018

		N samples/muestras	Influenza A(H3N2)	Influenza A (H1N1)pdm09	Influenza A non-subtype ^a	Influenza A not subtyped/no subtipificado	B Victoria	B Yamagata	B linaje no determinado	Influenza (+) %	Adenovirus	Parainfluenza	RSV/VSR	% RSV/VSR (+)	Bocavirus	Coronavirus	Metapneumovirus	Rinovirus	% All Positive Samples (+)
North America/ América del Norte	Mexico USA	291 17,620	0 4	37 32	0 121	0 0	7 0	0 2	1 42	16.5% 1.1%	0 0	0 0	0 0	0% 0%	0 0	0 0	0 0	1 3	17.9% 1.1%
Caribbean/ Caribe	Jamaica	14	0	0	0	0	0	0	0	0.0%	0	0	0	0%	0	0	0	0	0.0%
	Suriname	2	0	0	0	0	0	0	0	0.0%	0	0	0	0%	0	0	0	0	0.0%
Central America/ América Central	Costa Rica	41	1	6	0	0	0	1	19.5%	1	0	10	24%					46.3%	
	El Salvador	14	0	4	0	0	2	2	57.1%	0	0	0	0%					57.1%	
	Guatemala	7			0					0.0%								71.4%	
	Honduras	8	0	0	0	0	0	0	0	0.0%	0	0	1	13%				12.5%	
	Nicaragua	186		53	1					2.30.1%	1	21	11%					41.9%	
	Panama	41	5	2	0	0	0	0	0	17.1%	1	0	10	24%			3	9	73.2%
Andean/ Andina	Bolivia	10	0	0	0	0	0	0	0	0.0%	0	0	0	0%	0	0	0	0	0.0%
	Colombia	109	1		0					2.2.8%	3	3	10	9%	2	3	1	4	26.6%
	Peru	38	0	0	0	0	0	3	0	7.9%	0	0	0	0%	0	0	1	0	10.5%
Brazil & Southern Cone/ Brasil y Cono Sur	Chile	551	2		2			2	4	1.8%	19	16	8	1%				36	16.2%
	Chile_IRAG	17	0	0	0	0	0	0	1	5.9%	0	0	2	12%	0	0	1	0	23.5%
	Paraguay	110	3	1	0	0	0	0	5	8.2%	0	1	4	4%	0	0	0	0	12.7%
	Uruguay	7	0	0	0	0	0	0	0	0.0%	0	0	0	0%	0	0	0	0	0.0%
	Uruguay IRAG	7			0					0.0%									
	Grand Total	19,073	16	135	124	7	2	10	60	1.9%	24	21	71	0%	2	3	43	16	2.8%

These are the raw numbers provided in the country's FluNet update (Not the smoothed averages)
Estos son los números crudos proporcionados en la actualización FluNet del país (no los promedios suavizados)

*Please note blank cells indicate N/A.

*Por favor notar que las celdulas en blanco indican N/A.

* NIC laboratory data only / datos de laboratorio solo del NIC

EW 43, 2018 / SE 43, 2018																		
*Note: These countries reported in EW 44, 2018, but have provided data up to EW 43. *Nota: Estos países reportaron en la SE 44, 2018, pero han enviado los datos hasta la SE 43.																		
	N samples/ muestras	Influenza A(H3N2)	Influenza A (H1N1) pdm09	Influenza A No subtipificado	Total Influenza B	Influenza (+) %	Adenovirus	RSV/VSR	% RSV/VSR (+)	Bocavirus*	Coronaviru... Metapneu... Rinovirus* Parainfluen... %	% All Positive Samples (+)						
Caribbean/ Caribe	Belize	8	0	0	0	1	12.5%	0	1	13%	0	0	0	0	0	0	0	25.0%
	Dominican R..	14				0	0.0%	2	14%	0	0	0	0	0	0	0	0	14.3%
Central America/ A..	Panama	85	9	2	0	0	12.9%	6	19	22%	0	0	9	22	0	0	0	78.8%
Andean/ Andina	Ecuador	18	1	0	0	4	27.8%	0	1	6%	0	0	0	0	2	44.4%		
Brazil & Southern Cone/ Brasil y Cono Sur	Brazil	7			0	0.0%				0	0	0	0	0	0	0	0	0.0%
	Paraguay IRA..	78	2	1	0	1	5.1%	1	4	5%	0	0	0	0	2	14.1%		
	Grand Total	210	12	3	0	6	10.0%	7	27	13%	0	0	9	22	4	42.9%		

EW 42, 2018 / SE 42, 2018																		
*Note: These countries reported in EW 44, 2018, but have provided data up to EW 42. *Nota: Estos países reportaron en la SE 44, 2018, pero han enviado los datos hasta la SE 42.																		
	N samples/ muestras	Influenza A(H3N2)	Influenza A (H1N1) pdm09	Influenza A No subtipificado	Total Influenza B	Influenza (+) %	Adenovirus	RSV/VSR	% RSV/VSR (+)	Bocavirus*	Coronaviru... Metapneu... Rinovirus* Parainfluen... %	% All Positive Samples (+)						
Brazil & Southern C..	Argentina	583	1	7	7	10	4.3%	6	9	2%	0	0	10	0	48	16.8%		
	Grand Total	583	1	7	7	10	4.3%	6	9	2%	0	0	10	0	48	16.8%		

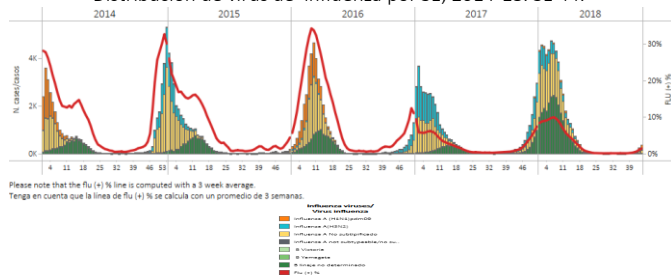
EW 41-44, 2018 / SE 41-44, 2018																		
*Note: These countries reported in EW 44, 2018, but have provided data up to EW 41-44. *Nota: Estos países reportaron en la SE 44, 2018, pero han enviado los datos hasta la SE 41-44.																		
	N samples/ muestras	Influenza A(H3N2)*	Influenza (H1N1)*	Influenza A/H1N1/pdm09*	Influenza A non-subtype*	Influenza B Victoria*	Influenza B Yamagata*	Influenza B linaje no determinado*	Influenza (+) %	Adenovirus*	Parainfluenza*	RSV/VSR*	% RSV/VSR (+)	Bocavirus*	Coronavirus*	Metapneumovirus*	Rinovirus*	% All Positive Samples (+)
North America/ América del Norte	Canada	58,131	46	195	144	0	0	8	0.7%	141	225	102	0.2%	0	16	28	1,293	3.8%
	Mexico	1,805	5	242	0	4	25	22	17.8%	7	5	4	0.2%	0	0	18	8	20.1%
	USA	75,209	48	168	979	4	27	320	2.1%	0	0	0	0	0	0	0	0	2.1%
Caribbean/ Caribe	Barbados	6	0	0	0	0	0	0	0.0%	0	0	1	16.7%	0	0	0	0	16.7%
	Belize	17	0	0	2	0	0	1	17.6%	0	0	2	11.8%	0	0	0	0	29.4%
	Cuba	67	0	5	0	0	1	1	10.4%	1	0	8	11.9%	0	0	0	3	28.4%
	Cuba IRAG	50	0	5	0	0	1	1	14.0%	1	0	8	16.0%	1	0	0	0	34.0%
	Dominican Republic	49	0	4	0	0	0	0	8.2%	0	0	2	4.1%	0	0	0	0	12.2%
	French Guiana	5	0	0	0	0	0	0	0.0%	0	0	0	0	0	0	0	0	0.0%
	Haiti	32	0	1	0	0	0	0	3.1%	0	0	0	0.0%	0	0	0	0	3.1%
	Jamaica	83	0	2	0	0	0	0	2.4%	0	0	0	0.0%	0	0	0	0	2.4%
	Suriname	10	0	0	0	0	0	0	0.0%	0	0	0	0.0%	0	0	0	0	0.0%
Central America/ América Central	Costa Rica	175	3	30	0	0	5	21.7%	6	1	21	12.0%	0	0	0	0	0	37.7%
	El Salvador	133	0	29	0	11	4	0	33.1%	0	0	0	0.0%	0	0	0	0	33.1%
	El Salvador*	119	0	20	5	8	2	1	30.3%	0	0	0	0.0%	0	0	0	0	30.3%
	Guatemala	87	0	2	0	0	0	0	2.3%	1	1	58	66.7%	0	0	0	4	0
	Honduras	85	0	5	0	0	0	0	5.9%	4	1	9	10.6%	0	0	0	0	22.4%
	Nicaragua	1,381	0	342	12	0	0	36	28.2%	0	3	173	12.5%	0	0	0	0	41.0%
	Panama	379	36	6	0	2	0	11.6%	15	2	126	33.2%	0	0	0	25	87	78.9%
Andean/ Andina	Bolivia	125	4	0	16	0	0	0	16.0%	0	5	4	4.0%	0	0	0	0	20.0%
	Colombia	502	9	9	0	0	13	6.2%	17	13	53	10.6%	7	16	3	19	32.1%	
	Ecuador	82	2	0	0	0	11	15.9%	0	5	1	1.2%	0	0	0	0	0	23.2%
Brazil & Southern Cone/ Brasil y Cono Sur	Argentina	1,647	2	19	24	0	0	35	4.9%	35	148	31	1.9%	0	0	37	0	20.1%
	Brazil	239	6	4	0	0	7	7.1%	7	6	4	1.7%	0	0	4	0	15.9%	
	Chile	2,866	18	6	6	1	60	18	3.8%	110	84	66	2.3%	0	0	190	0	19.5%
	Chile_IRAG	221	1	1	1	0	0	6	4.1%	3	3	6	2.7%	0	0	18	2	18.6%
	Paraguay	513	23	6	0	0	12	8.0%	1	8	26	5.1%	0	0	0	0	0	14.8%
	Paraguay IRAG	310	14	4	0	0	6	7.7%	1	3	17	5.5%	0	0	0	0	0	14.5%
	Uruguay	48	3	0	0	3	0	12.5%	0	0	0	0.0%	0	0	0	0	0	12.5%
	Uruguay IRAG	40	1	0	0	0												

North America / América del Norte

Canada / Canadá

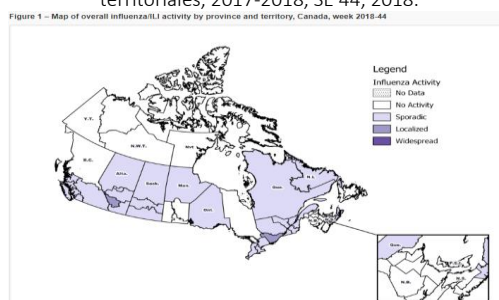
- In EW 44, the percent of ILI visits at the national level was below the 5-year average for the same period (Graph 2). Three regions in Alta (1) and Ontario (2) reported localized ILI activity, and most of the provinces and territories reported sporadic to no ILI activity (Graph 3). During EW 44, influenza detections slightly increased (Graph 1); influenza A(H1N1)pdm09 and B predominated among the influenza detections. RSV positivity remained at low levels in recent weeks, while adenovirus and parainfluenza predominated (Graph 4). From EW 41 to 44, the pediatric hospitalizations increased above the average for 2010-2018 (Graph 5); and a total of 37 influenza A-associated pediatric hospitalizations, 7 ICU admissions and no deaths were reported during the 2018-19 season. / En la SE 44, el porcentaje de consultas por ETI a nivel nacional se ubicó bajo el promedio de 5 años para el mismo período (Gráfico 2). Tres regiones en Alta (1) y Ontario (2) reportaron actividad localizada de ETI, y la mayoría de los territorios y provincias reportaron esporádica o nula actividad de ETI (Gráfico 3). Durante la SE 44, las detecciones de influenza aumentaron ligeramente (Gráfico 1); los virus influenza A(H1N1)pdm09 y B predominaron entre las detecciones de influenza. La positividad de VSR permaneció a niveles bajos en semanas recientes, en tanto predominaron adenovirus y parainfluenza (Gráfico 4). Desde la SE 35 a SE 44, las hospitalizaciones pediátricas aumentaron sobre el promedio para 2010-2018 (Gráfico 5); y un total de 37 hospitalizaciones pediátricas asociadas a influenza A, 7 admisiones a UCI y ningún fallecido fueron reportados durante la temporada 2018-2019.

Graph 1. Canada: Influenza virus distribution by EW, 2014-18, EW 44. /
Distribución de virus de influenza por SE, 2014-18. SE 44.



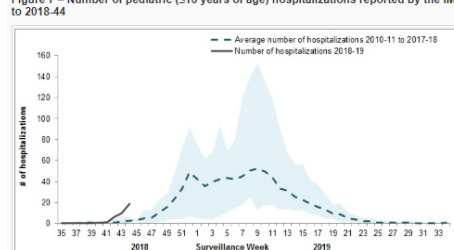
Graph 3. Canada: Influenza activity by provincial and territorial influenza surveillance regions, 2017-2018, EW 44, 2018.

Actividad de influenza por regiones de vigilancia de influenza provinciales y territoriales, 2017-2018, SE 44, 2018.



Graph 5. Canada: Number of pediatric hospitalizations (≤ 16 years old) by EW, EW 35-44, 2018. /
Número de hospitalizaciones pediátricas (≤ 16 años) por SE, SE 35-44, 2018

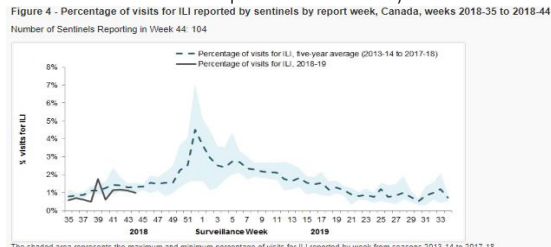
Figure 7 – Number of pediatric (≤ 16 years of age) hospitalizations reported by the IMPACT network, by week, Canada, weeks 2018-35 to 2018-44



*To view more epi data, view [here](#). / Para ver mas datos epi, vea [aquí](#).

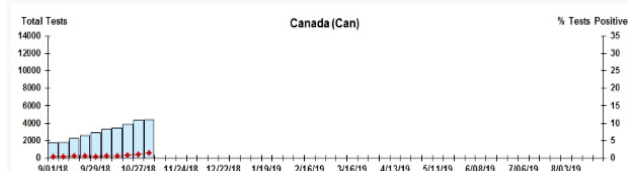
Graph 2. Canada: Percentage of ILI visits by sentinel sites, EW 44, 2018 (in comparison to 2012-2017 seasons)

Porcentaje de casos de ETI por sitio centinela , SE 44, 2018 (en comparación con temporadas 2012-2017)



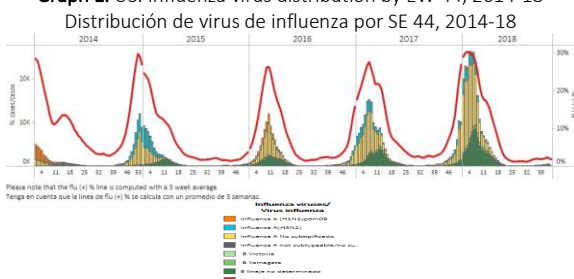
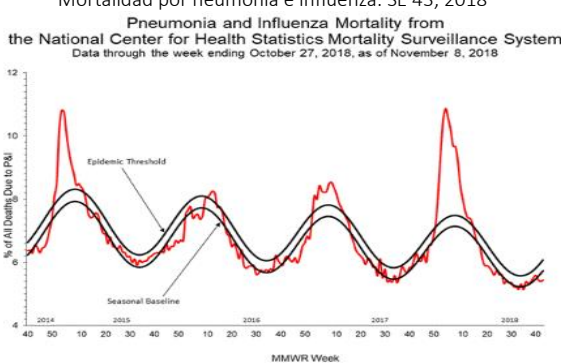
Graph 4. Canada: RSV distribution by EW, 2014-18, EW 44. /
Distribución de VSR por SE, 2014-18. SE 44.

Figure 3: Positive Respiratory syncytial virus (RSV) Tests (%) in Canada by Region by Week of Report

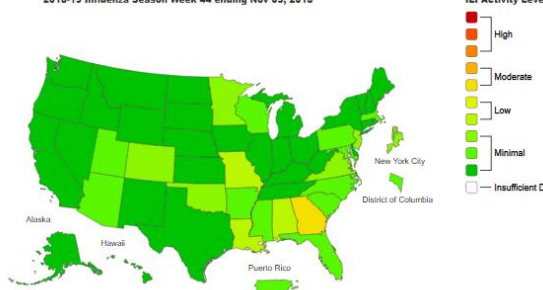


United States / Estados Unidos

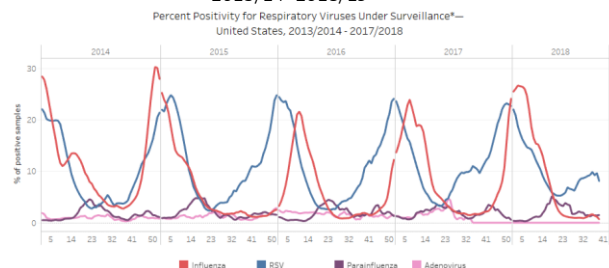
- In EW 44, ILI activity at the national level remained below the seasonal threshold of 2.2% (Graph 4). One state (Georgia) experienced moderate ILI activity and three states (Alabama, Louisiana, and Missouri) experienced low ILI activity, with minimal activity reported in the rest of the country during EW 44 (Graph 5). Influenza detections continued at low levels, while RSV activity slightly decreased in EW 44. Influenza A(H1N1)pdm09, A(H3N2) and Yamagata lineage of B co-circulated in recent weeks (Graph 1,2). The proportion of pneumonia and influenza deaths among all deaths was below the epidemic threshold of 6.1% for EW 43 (Graph 3). Two pediatric deaths due to influenza A were reported during the 2018-2019 season. / En la SE 44, la actividad de ETI a nivel nacional permaneció bajo el umbral estacional de 2,2% (Gráfico 4). Un estado (Georgia) presentó actividad de ETI moderada y tres estados (Alabama, Louisiana, y Missouri) presentaron actividad baja de ETI, con mínima actividad reportada en el resto del país durante la SE 44 (Gráfico 5). Las detecciones de influenza continuaron a niveles bajos, en tanto la actividad de VSR disminuyó ligeramente en la SE 44. Influenza A(H1N1)pdm09, A(H3N2) y el linaje Yamagata de B co-circularon en semanas recientes (Gráfico 1, 2). La proporción de fallecidos por neumonía e influenza del total de fallecidos se ubicó bajo el umbral epidémico de 6,1% para la SE 43 (Gráfico 3). Se reportaron dos muertes pediátricas debida a influenza A durante la temporada 2018-2019.

Graph 1. US: Influenza virus distribution by EW 44, 2014-18**Graph 3. US: Pneumonia and influenza mortality. EW 43, 2018****Graph 5. US: ILI activity level indicator determined by state, EW 44, 2018-2019.**

Indicador de nivel de actividad de ETI por estado, SE 44, 2018-2019.

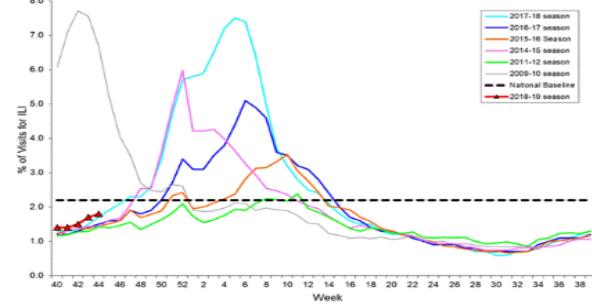
**Graph 2. US: Percent positivity for respiratory virus EW 44**

Porcentaje de positividad para virus respiratorios, por SE 44, 2013/14- 2018/19

**Graph 4. US: Percentage of visits for ILI, 2018-2019. EW 44,**

Porcentaje de visitas por ETI, 2018-2019. SE 44.

Percentage of Visits for Influenza-like Illness (ILI) Reported by the U.S. Outpatient Influenza-like Illness Surveillance Network (ILINet), Weekly National Summary, 2018-2019 and Selected Previous Seasons

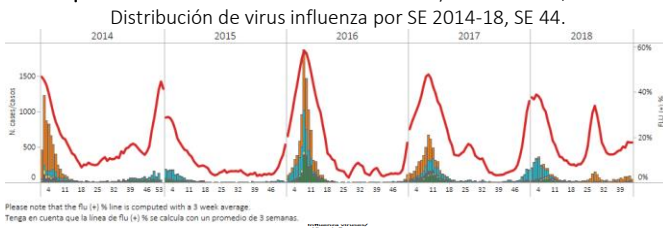


Mexico

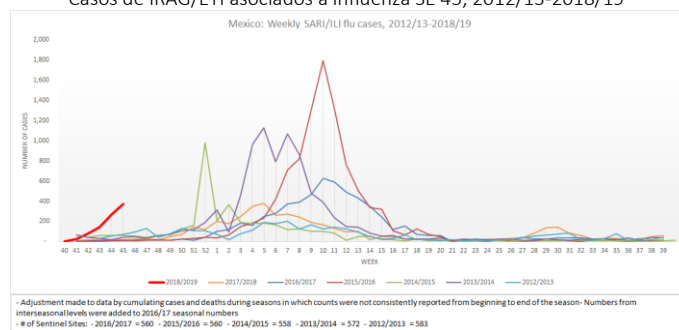
- During EW 44, influenza activity increased at the alert threshold, with influenza A(H1N1)pdm09 and both lineages of influenza B co-circulating in recent weeks; and there were few RSV detections (Graph 1, 2). Up to EW 45, influenza-associated SARI/ILI counts were higher as compared to the levels observed during most other seasons (Graph 3) and 16

influenza-associated SARI/ILI deaths were reported as compared from previous seasons for the same period (Graph 4, 8). In EW 45, 11 states reported higher influenza-associated SARI/ILI counts than the historic average: Chiapas, Colima, Durango, Querétaro, Quintana Roo, Sinaloa, Tabasco, Tamaulipas, Tlaxcala, Veracruz, and Yucatan (Graph 5). In EW 45, 7 states reported higher influenza-associated SARI/ILI deaths counts than the historic average: Baja California, Campeche, Chiapas, Quintana Roo, Sinaloa, Veracruz and Yucatan (Graph 6). During EW 45, 375 cumulative influenza-associated SARI/ILI cases were reported, with the highest counts in Veracruz, Guerrero, Sinaloa, Chiapas, Tabasco and Oaxaca; and 16 influenza-associated SARI/ILI death in Veracruz, Tabasco, Sonora, Chiapas, Aguas Calientes, Tamaulipas and Tlaxcala (Graphs 7, 8). / Durante la SE 44, la actividad de influenza aumentó en el umbral de alerta, con co-circulación de influenza A(H1N1)pdm09 y ambos linajes de influenza B en semanas previas; y se reportaron contadas detecciones de VSR (Gráfico 1,2). Hasta la SE 45, los recuentos de IRAG/ETI asociados a influenza aumentaron en relación a los niveles observados durante la mayoría de las restantes temporadas (Gráfico 3) y se reportaron 16 casos fallecidos de IRAG/ETI asociados a influenza en relación a las previas temporadas para el mismo período (Gráfico 4,8). En la SE 45, 11 estados reportaron mayores recuentos de IRAG/ETI asociados a influenza en comparación con el promedio histórico: Chiapas, Colima, Durango, Querétaro, Quintana Roo, Sinaloa, Tabasco, Tamaulipas, Tlaxcala, Veracruz, y Yucatán (Gráfico 5). En la SE 45, 7 estados reportaron mayor recuento de fallecidos por IRAG/ETI asociados a influenza en comparación con el promedio histórico: Baja California, Campeche, Chiapas, Quintana Roo, Sinaloa, Veracruz y Yucatán (Gráfico 6). Durante la SE 45, fue reportado un total acumulado de 375 casos de IRAG/ETI asociados a influenza con el mayor recuento en Veracruz, Guerrero, Sinaloa, Chiapas, Tabasco y Oaxaca; y 16 muertes por IRAG/ETI asociadas a influenza en Veracruz, Tabasco, Sonora, Chiapas, Aguas Calientes, Tamaulipas y Tlaxcala (Gráficos 7, 8).

Graph 1. Mexico: Influenza virus distribution by EW 2014-18, EW 44.



Graph 3. Mexico: Influenza-associated SARI/ILI cases EW 45, 2012/13-2018/19
Casos de IRAG/ETI asociados a influenza SE 45, 2012/13-2018/19

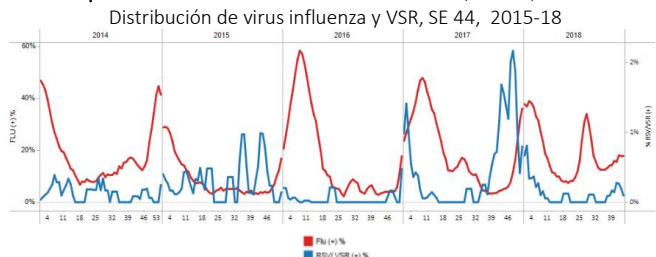


Graph 5. Mexico: Cumulative influenza-associated SARI/ILI cases greater than historic average, EW 21-45 (2014- 2018)

Casos acumulados de IRAG/ETI asociados a influenza superior al promedio histórico, SE 21-45 (2014- 2018)

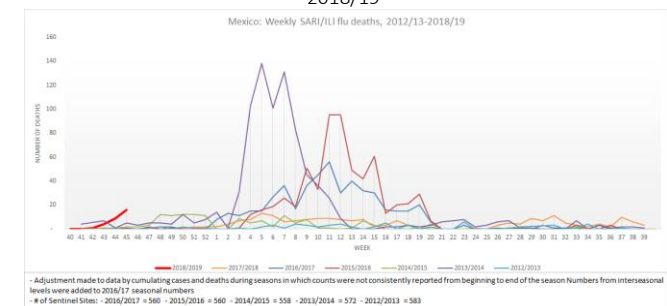


Graph 2. Mexico: Influenza and RSV distribution, EW 44, 2015-18



Graph 4. Mexico: Influenza-associated SARI/ILI deaths EW 45, 2012/13-2018/19

Casos fallecidos por IRAG/ETI asociados a Influenza SE 45, 2012/13-2018/19

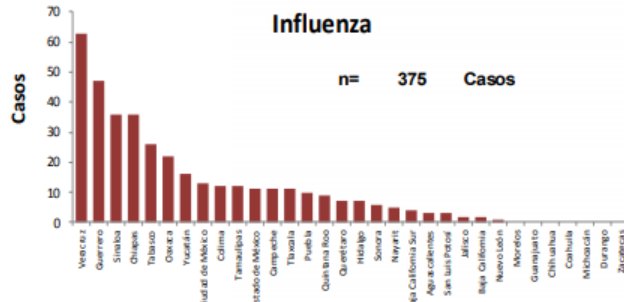


Graph 6. Mexico: Cumulative influenza-associated SARI/ILI deaths greater than historic average, EW 21-45 (2014- 2018)

Fallecidos acumulados de IRAG/ETI asociados a influenza superior al promedio histórico, SE 21- 45 (2014- 2018)

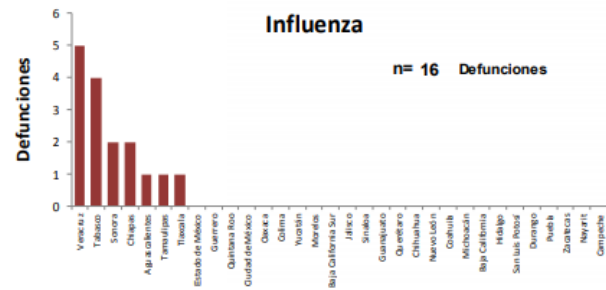


Graph 7. Mexico: SARI/ILI-influenza cases EW 45, 2018/19
Casos de IRAG/ETI asociados a influenza SE 45, 2018/19



*To view more epi data, view [here](#). / Para ver mas datos epi, vea [aquí](#).

Graph 8. Mexico: SARI/ILI-flu deaths EW 45, 2018/19
Casos fallecidos por IRAG/ETI asociados a Influenza SE 45, 2018/19



Aruba

- During EW 40, low influenza detections were reported and influenza A(H1N1)pdm09 activity decreased (Graph 1) with increased SARI activity in recent weeks (Graph 3). The proportion of influenza positive samples decreased, and few RSV detections were reported (Graph 2). / Durante la SE 40, se reportaron bajas detecciones de influenza y la actividad de influenza A(H1N1)pdm09 disminuyó (Gráfico 1) con mayor actividad de IRAG en semanas recientes (Gráfico 3). La proporción de muestras positivas para influenza disminuyó, y se reportaron contadas detecciones de VRS (Gráfico 2).

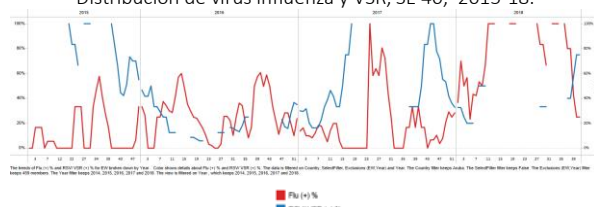
Graph 1. Aruba. Influenza virus distribution EW, EW 40, 2015-18.

Distribución de virus influenza por SE, SE 40, 2015-18.

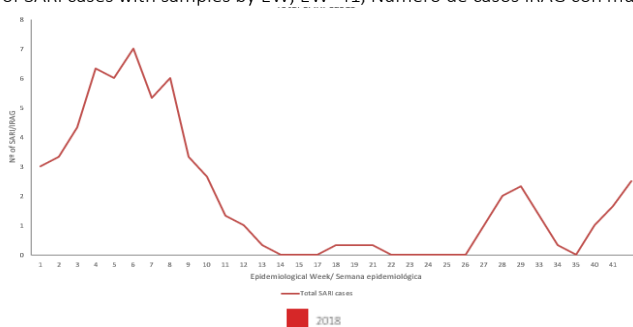


Graph 2. Aruba. Influenza and RSV distribution, EW 40, 2015-18.

Distribución de virus influenza y VSR, SE 40, 2015-18.



Graph 3. Aruba: Number of SARI cases with samples by EW, EW 41, Numero de casos IRAG con muestra por SE, SE 41, 2018

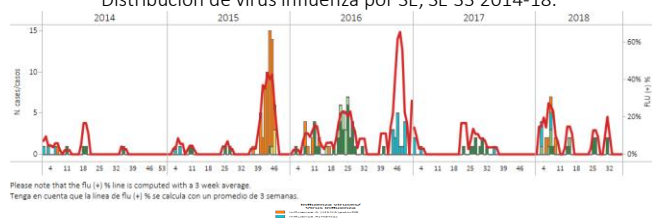


Barbados

- During EW 33, no influenza detection were reported and influenza B circulated in previous weeks (Graph 1, 2). During 2018, no RSV detections were reported (Graph 2). As of EW 39, the decreased SARI activity was below the levels observed in the 2015-2017 seasons for the same period (Graph 3). / Durante la SE 33, no se reportaron detecciones de influenza e influenza B circuló en semanas previas (Gráfico 1, 2). Durante 2018, no se reportaron detecciones de VSR (Gráfico 2). Hasta la SE 39, la actividad disminuida de IRAG se ubicó por debajo de los niveles observados en las temporadas 2015-2017 para el mismo período (Gráfico 3).

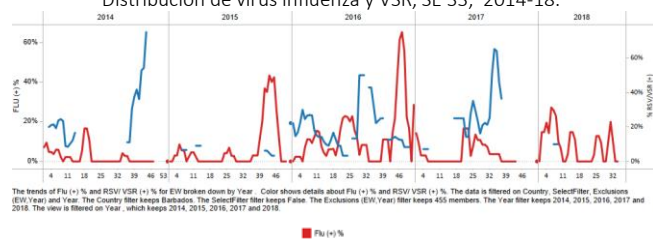
Graph 1. Barbados. Influenza virus distribution EW, EW 33, 2014-18.

Distribución de virus influenza por SE, SE 33 2014-18.



Graph 2. Barbados. Influenza and RSV distribution, EW 33, 2014-18.

Distribución de virus influenza y VSR, SE 33, 2014-18.



Graph 3. Barbados: Number of SARI cases with samples by EW, EW 39, 2013-18

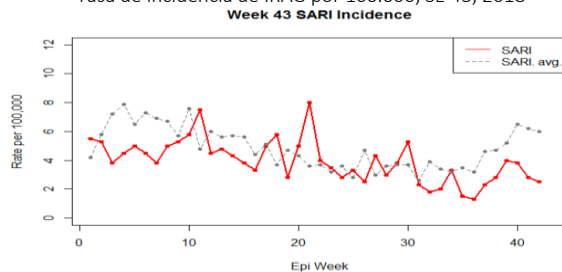
Numero de casos IRAG con muestra por SE, SE 39, 2013-18



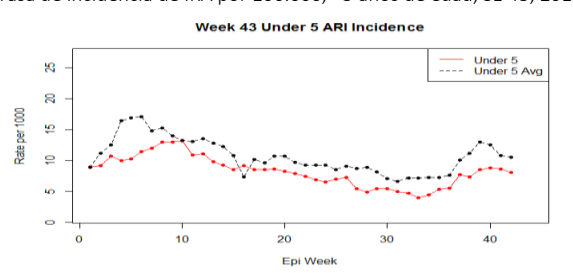
Belize/ Belice

- During EW 43, slightly decreased SARI activity was reported (Graph 1), as compared to the previous five seasons' average. In EW 43, the ARI incidence rate among <5 years of age children was lower than the previous seasons for the same period (Graph 2). In EW 43, one influenza B sample was detected while influenza A(H1N1)pdm09 predominated during the 2018 season (Graph 3). / Durante la SE 43, se reportó ligero descenso en la actividad de IRAG (Gráfico 1), en comparación con el promedio de las cinco temporadas previas. En la SE 43, la incidencia de IRA entre los niños <5 años fue menor que en las temporadas previas para el mismo período (Gráfico 2). En la SE 43, se detectó una muestra de influenza B; en tanto influenza A(H1N1)pdm09 predominó durante la temporada 2018 (Gráfico 3).

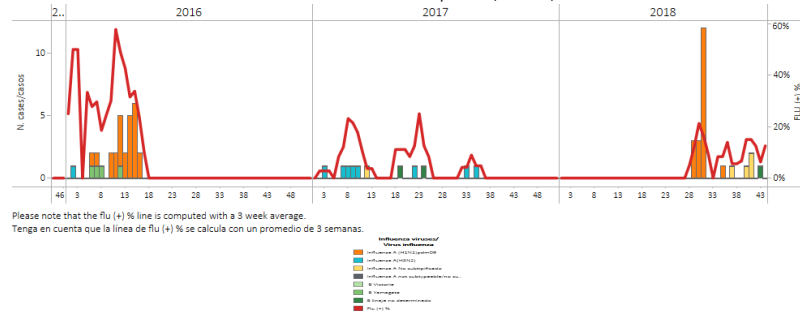
Graph 1. Belize: SARI incidence rate per 100,000, EW 43, 2018
Tasa de incidencia de IRAG por 100.000, SE 43, 2018



Graph 2. Belize: ARI incidence rate per 100,000, <5 years old, EW 43, 2018
Tasa de incidencia de IRA por 100.000, <5 años de edad, SE 43, 2018



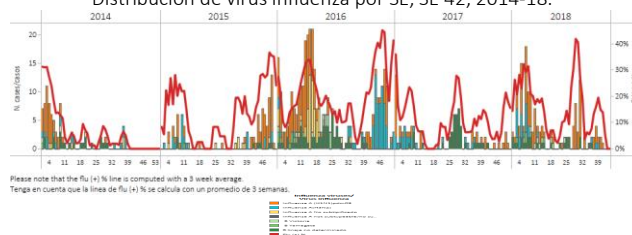
Graph 3. Belize. Influenza virus distribution EW, EW 44, 2016-18.
Distribución de virus influenza por SE, SE 44, 2016-18.



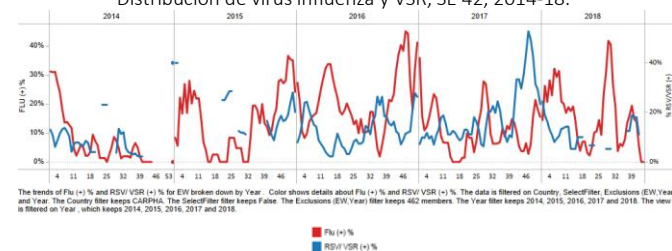
CARPHA

- During EW 42, decreased influenza detections were reported with influenza A(H1N1)pdm09 and B co-circulating in recent weeks (Graph 1). The proportion of influenza positive samples decreased, while the proportion of RSV remained similar to the levels from previous weeks (Graph 2). Durante la SE 42, se reportaron menores detecciones de influenza con co-circulación de influenza A(H1N1)pdm09 y B en semanas recientes (Gráfico 1). La proporción de muestras positivas para influenza disminuyó, mientras que la de VSR se mantuvo similar a los niveles de semanas previas (Gráfico 2).

Graph 1. CARPHA. Influenza virus distribution EW, EW 42, 2014-18.
Distribución de virus influenza por SE, SE 42, 2014-18.



Graph 2. CARPHA. Influenza and RSV distribution, EW 42, 2014-18
Distribución de virus influenza y VSR, SE 42, 2014-18.



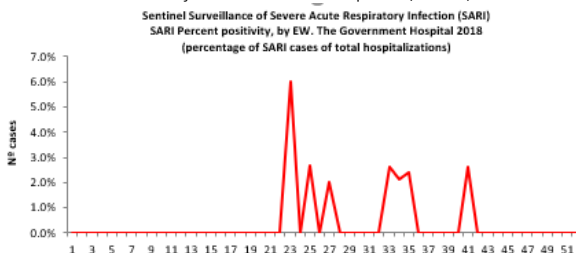
*To view more epi data, view [here](#). / Para ver mas datos epi, vea [aquí](#).

Cayman Island / Islas Caiman

- From EW 23 to EW 44, SARI activity remained at low levels, with no cases reported in EW 44 (Graph 1). / Desde la SE 23 a SE 44, la actividad de IRAG permaneció a niveles bajos, sin casos reportados en la SE 44 (Gráfico 1).

Graph 1. Cayman Island/ Islas Caiman: Percentage of SARI cases by EW, EW 44, 2018.

Porcentaje de casos de IRAG por SE, SE 44, 2018

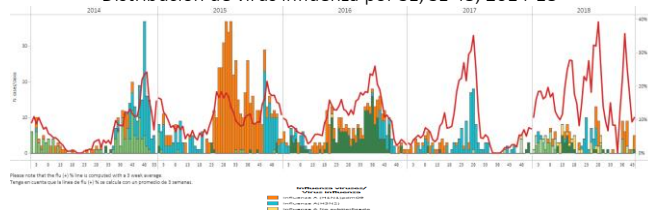


Cuba

- During EW 43, slightly increased influenza detections were reported with influenza A(H1N1)pdm09 and B co-circulating (Graph 1); while there was no RSV circulation during the 2018 season until EW 39 (Graph 2). The number of SARI cases decreased and were lower than in the 2014-2017 seasons for the same period and were among the <5-years-old population, with influenza A(H1N1)pdm09 predominating. / Durante la SE 413 se reportaron ligeramente mayores detecciones de influenza, con co-circulación de influenza A(H1N1)pdm09 y B (Gráfico 1), en tanto no se reportó circulación de VSR durante la temporada 2018 hasta la SE 39 (Gráfico 2). Los casos de IRAG disminuyeron y estuvieron por debajo de los niveles de las temporadas 2014-2017 para el mismo período y fueron entre la población de < 5 años de edad con predominio de influenza A(H1N1)pdm09.

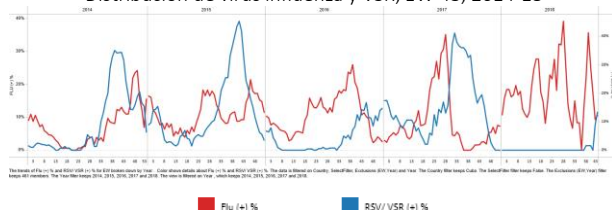
Graph 1. Cuba: Influenza virus distribution by EW, EW 43, 2014-18

Distribución de virus influenza por SE, SE 43, 2014-18



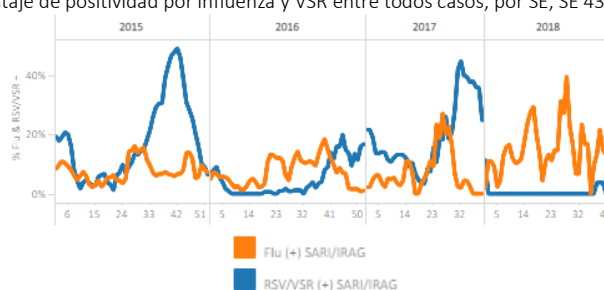
Graph 2. Cuba Influenza and RSV distribution, EW 43, 2014-18

Distribución de virus influenza y VSR, EW 43, 2014-18



Graph 3. Cuba: Percent positivity for influenza and RSV among SARI cases by EW, EW 43, 2015-18

Porcentaje de positividad por influenza y VSR entre todos los casos, por SE, SE 43, 2015-18

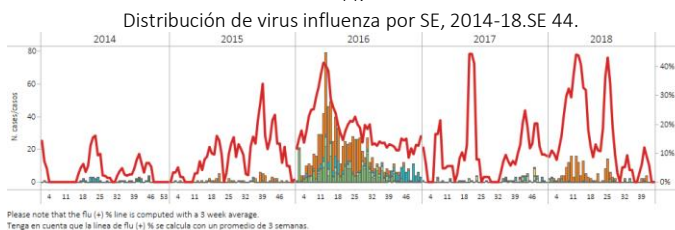


*To view more epi data, view [here](#). / Para ver más datos epi, vea [aquí](#).

Dominican Republic / República Dominicana

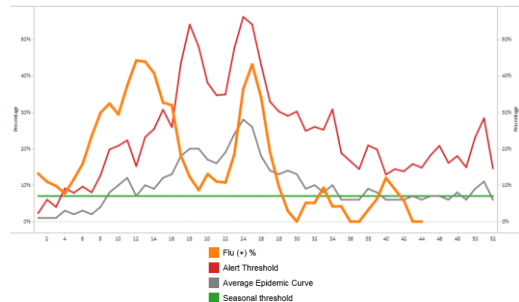
- During EW 44, decreased influenza detections were reported, with influenza B and A(H1N1)pdm09 co-circulating in recent weeks (Graph 1); RSV detections increased (Graph 2). Influenza positivity was below the alert threshold and the average epidemic curve (Graph 3). During EW 41, the number of SARI cases slightly decreased from previous weeks (Graph 4), with a similar proportion of influenza and RSV positive samples. The SARI and influenza-associated SARI cases predominated among the <5 years old. / Durante la SE 44, se reportaron menores detecciones de influenza, con co-circulación de influenza B y A(H1N1)pdm09 en semanas recientes (Gráfico 1); las detecciones de VSR aumentaron (Gráfico 2). La actividad de influenza se ubicó bajo el umbral de alerta y el umbral epidémico (Gráfico 3). Durante la SE 41, el número de casos de IRAG disminuyó ligeramente en relación a semanas previas (Gráfico 4), con una proporción similar de muestras positivas para influenza y VSR. Los casos de IRAG y los casos de IRAG asociados a influenza predominaron en los <5 años.

Graph 1. Dominican Republic: Influenza virus distribution EW, 2014-18. EW 44.



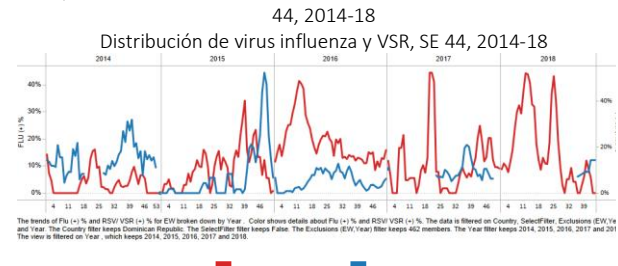
Graph 3. Dominican Republic: Percent positivity for influenza, 44 2018 (in comparison to 2010-2017)

Porcentaje de positividad de influenza, SE 44, 2018 (en comparación a 2010-2017)



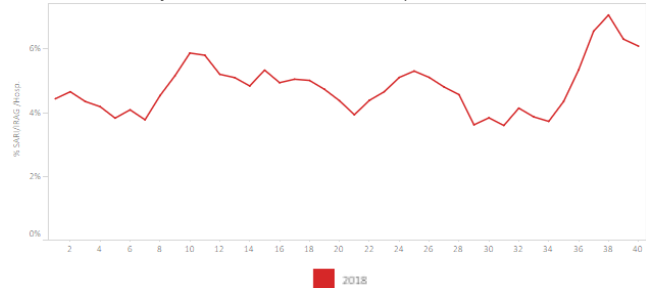
*To view more epi data, [view here](#). / Para ver mas datos epi, vea [aquí](#).

Graph 2. Dominican Republic Influenza and RSV distribution, EW 44, 2014-18



Graph 4. Dominican Republic: Percent of SARI cases out of total hospitalizations, by EW, EW 41, 2018

Porcentaje de casos de todos IRAG by EW, EW 41, 2018

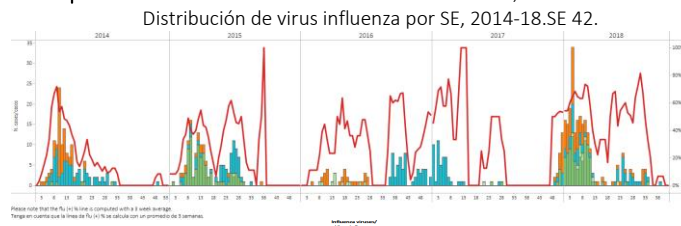


*To view more epi data, [view here](#). / Para ver mas datos epi, vea [aquí](#).

French Guiana

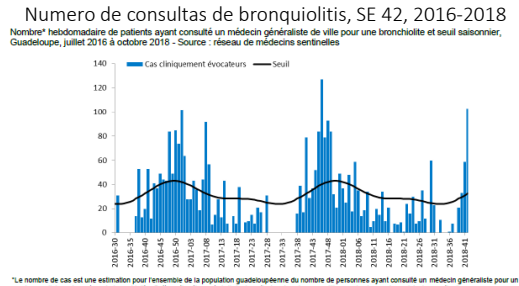
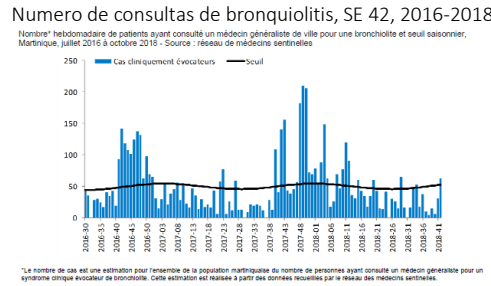
- During EW 42, no influenza detections were reported, with influenza A(H3N2) and A(H1N1)pdm09 co-circulating in recent weeks (Graph 1). Influenza positivity was below the seasonal threshold and the average epidemic curve. / Durante la SE 42, no se reportaron detecciones de influenza, con co-circulación de influenza A(H3N2) y A(H1N1)pdm09 en semanas recientes (Gráfico 1). La actividad de influenza se ubicó bajo el umbral estacional y la curva epidémica.

Graph 1. French Guiana: Influenza virus distribution EW, 2014-18. EW 42.

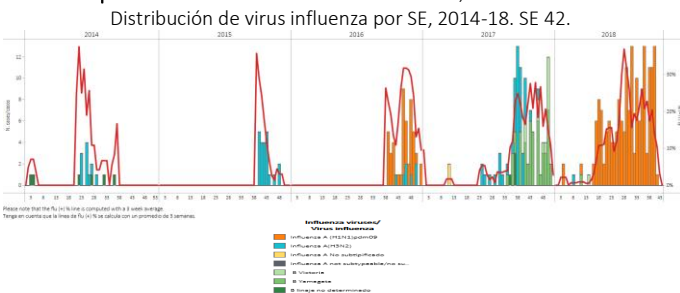


French Territoires / Territorios Franceses

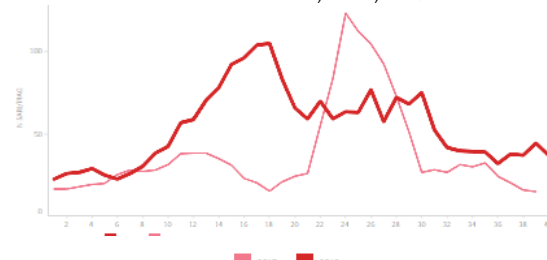
- During EW 42, 2018, bronchiolitis consultations continued to increase and were higher than the seasonal average in Guadeloupe (Graph 1). In Martinique, bronchiolitis activity increased at seasonal levels during EW 42, 2018 and in recent weeks (Graph 2). / Durante la SE 42 de 2018, las consultas por bronquiolitis continuaron en aumento y fueron mayores que el promedio estacional en Guadalupe (Gráfico 1). En Martinica, la actividad de bronquiolitis aumentó a niveles estacionales durante la SE 42 de 2018, y en semanas previas (Gráfico 2).

Graph 1. Guadeloupe: Number of bronchiolitis consultations, EW 42, 2016-2018**Graph 2.** Martinique: Number of bronchiolitis consultations, EW 42, 2016-2018**Haiti**

- During 2018, influenza activity began earlier than in the previous 2014-2017 seasons and peaked in EW 30. During EW 42, influenza cases decreased as compared to the previous weeks, with influenza A(H1N1)pdm09 predominated (Graph 1). As of EW 40, the number of SARI hospitalizations decreased from previous weeks; and was slightly higher than the levels observed in 2017 for the same period (Graph 2), with most of the cases among the <5 years old infants. / Durante 2018, la actividad de influenza inició más tempranamente que en las temporadas previas de 2014-2017 y presentó un pico en la SE 30. Durante la SE 42, los casos de influenza disminuyeron en comparación a las semanas previas, con predominio de influenza A(H1N1)pdm09 (Gráfico 1). Hasta la SE 40, el número de hospitalizaciones por IRAG se encuentra en descenso respecto a semanas previas; siendo ligeramente superior a los niveles observados en 2017 para el mismo período (Gráfico 2); con la mayoría de los casos reportaron entre los niños <5 años de edad.

Graph 1. Haiti: Influenza virus distribution EW, 2014-18. EW 42.**Graph 2.** Haiti: Number of SARI cases, EW 40, 2017-2018. /

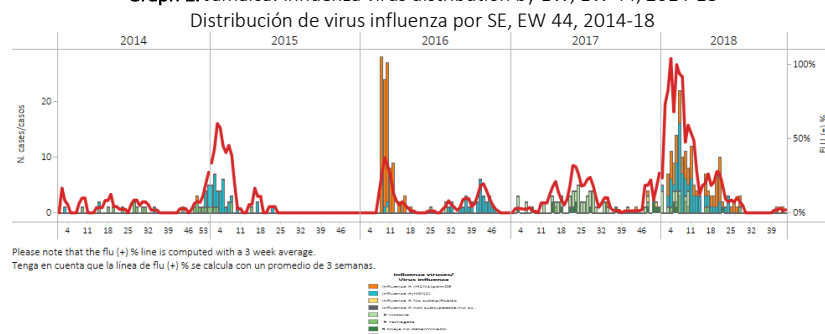
Número de casos de IRAG, SE 40, 2017-2018.



*To view more epi data, view [here](#). / Para ver mas datos epi, vea [aquí](#).

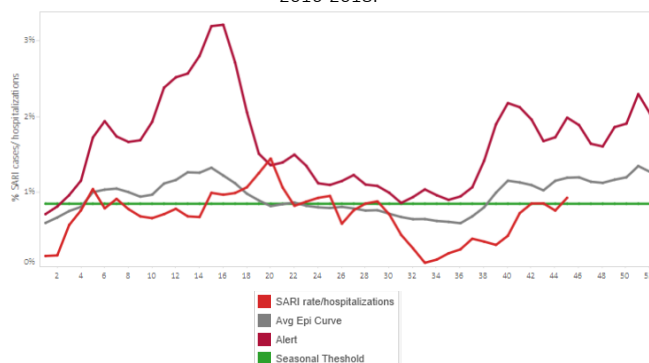
Jamaica

- During EW 44, SARI activity remained at the seasonal threshold as compared to the 2016-2017 seasons (Graph 2). The number of ARI cases remained above the seasonal threshold, as compared to the 2014-2017 seasons for the same period (Graph 3). During EW 41 and EW 44, few influenza A(H1N1)pdm09 detections were reported with no influenza cases reported in the last two months (Graph 1). / Durante la SE 44, la actividad de IRAG permaneció en el umbral estacional en comparación a las temporadas 2016-2017 (Gráfico 2). El número de casos de IRA permaneció sobre el umbral estacional, respecto a las temporadas 2014-2017 para el mismo período (Gráfico 3). Durante la SE 41 y SE 44, se reportaron escasa detecciones de influenza A(H1N1)pdm09, sin reporte de casos de influenza en los últimos dos meses (Gráfico 1).

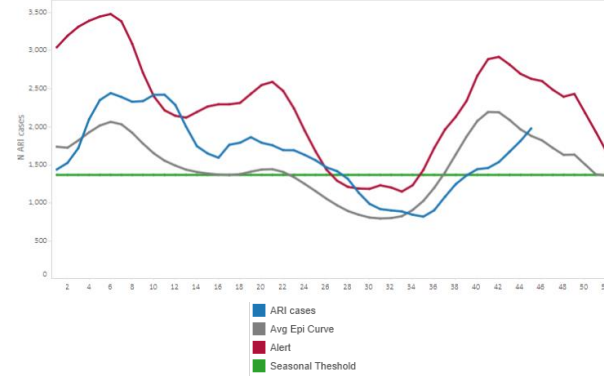
Graph 1. Jamaica: Influenza virus distribution by EW, EW 44, 2014-18

Graph 2. Jamaica: % SARI hospitalizations among total hospitalizations, EW 44, 2016-2018. /

% hospitalizaciones de casos IRAG entre total de hospitalizaciones, SE 44, 2016-2018.

*To view more epi data, view [here](#). / Para ver mas datos epi, vea [aquí](#).**Graph 3.** Jamaica: Number of ARI cases (compared to 2014-2018), EW 45

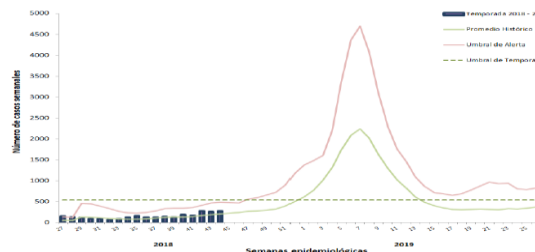
Número de casos de IRA, (en comparación a 2014-2018), SE 45



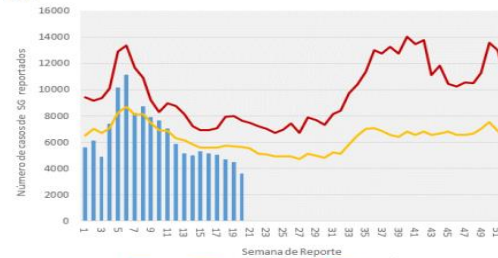
- During EW 44, increased influenza cases were detected below the seasonal threshold, with predominance of influenza A(H1N1)pdm09 (Graph 1). ILI activity remained below the average epidemic curve (Graph 2). / Durante la SE 44, se han detectado contados mayores casos de influenza por debajo del umbral estacional, con predominio de influenza A(H1N1)pdm09 (Gráfico 1). La actividad del ETI se mantuvo por debajo de la curva epidémica media (Gráfico 2).

Graph 1. Puerto Rico: Influenza-positive cases by EW 44, 2017-18
Casos positivos para influenza SE 44, 2017-18

Gráfica 1. Casos de influenza reportados por semana epidemiológica. Temporada 2018 – 2019, Puerto Rico

**Graph 2.** Puerto Rico: ILI epidemic rates by EW 20, 2018 /
Tasas de ETI por SE, SE 20, 2018.

GRÁFICA 4. Informe de Niveles Epidemiológicos de Síndromes Gripales, Semana 20, Puerto Rico 2018

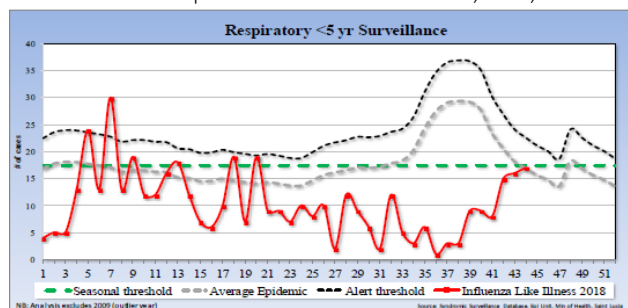


Saint Lucia

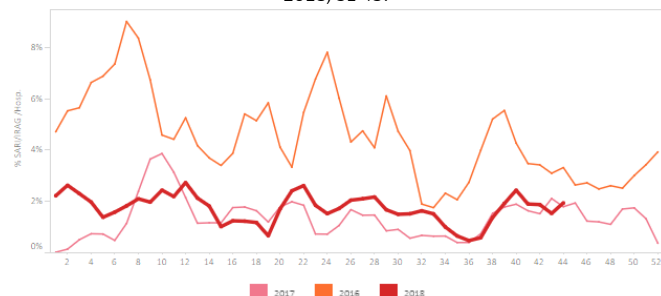
- During EW 44, the number of cases with respiratory symptoms among children under 5 years of age increased at the seasonal threshold (Graph 1). During EW 43, SARI activity increased and was lower than the levels from the 2016 season for the same period (Graph 2), with SARI admissions predominating among the 1 to 4 years of age population. / Durante la SE 44, el número de casos con síntomas respiratorios en niños menores de 5 años de edad aumentó a niveles de umbral estacional (Gráfico 1). Durante la SE 43, la actividad de IRAG aumentó y fue menor que los niveles de la temporada 2016 para el mismo período (Gráfico 2), con predominio de las admisiones por IRAG entre el grupo de 1 y 4 años de edad.

Graph 1. Saint Lucia: ILI cases distribution by EW among the < 5 years of age, EW 44, 2014-18

Distribución de ETI por SE entre los <5 años de edad, SE 44, 2014-18

*To view more epi data, view [here](#). / Para ver mas datos epi, vea [aquí](#).**Graph 2.** Saint Lucia: Percent of SARI cases per total hospitalizations by year, 2016-2018, EW 43. /

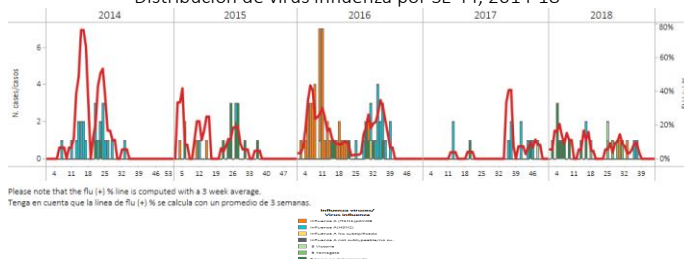
Porcentaje de casos de IRAG por todos hospitalizaciones por año, 2016-2018, SE 43.



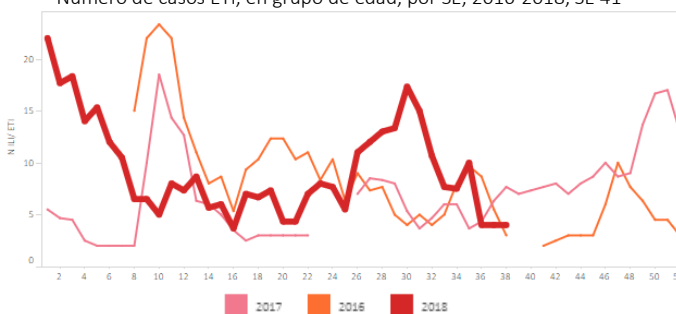
- During EW 42, ILI case counts were similar to the previous week, while SARI-related hospitalizations remained at low levels in EW 43 and were lower than the 2015 season but similar to the 2016-2017 seasons for the same period (Graph 3, 4). In EW 43, increased SARI cases were associated with higher proportion of RSV samples than influenza samples; and predominated among the <5 years-of-age population. During EW 44, no influenza activity was reported, with influenza A(H3N2) and A(H1N1)pdm09 co-circulating in previous weeks (Graph 1); RSV activity also decreased (Graph 2). / Durante la SE 42, el número de casos de ETI fue similar a la semana previa, en tanto las hospitalizaciones relacionadas con IRAG permanecieron bajas en la SE 43 y fueron menores que durante la temporada 2015 pero similares a las temporadas 2016-2017 para el mismo período (Gráfico 3, 4). En la SE 43, el aumento de casos de IRAG se asoció a mayor proporción de muestras positivas para VSR que muestra de influenza; y predominó entre la población de <5 años de edad. Durante la SE 44, no se reportó actividad de influenza, con co-circulación de influenza A(H3N2) y A(H1N1)pdm09 en semanas anteriores (Gráfico 1); la actividad de VSR disminuyó (Gráfico 2).

Graph 1. Suriname: Influenza virus distribution by EW 44, 2014-18

Distribución de virus influenza por SE 44, 2014-18



Graph 3. Suriname: Number of ILI cases, by age, by EW, 2016-2018.EW 41
 Número de casos ETI, en grupo de edad, por SE, 2016-2018. SE 41



*To view more epi data, view here. / Para ver mas datos epi, vea aquí.

Trinidad & Tobago

- During EW 44, no influenza detections were reported, with influenza A(H3N2) and B predominating in previous weeks (Graph 1). Rhinovirus and parainfluenza virus circulated in recent weeks, and there were no RSV detections reported (Graph 2). As of EW 41, SARI activity decreased from the previous month (Graph 3). / Durante la SE 44, no se reportaron detecciones de influenza, con predominio de influenza A(H3N2) y B en semanas previas (Gráfico 1). Rhinovirus y parainfluenza circularon en semanas recientes y no se reportaron detecciones de VSR (Gráfico 2). Hasta la SE 40, la actividad de IRAG disminuyó en relación al mes anterior (Gráfico 3).

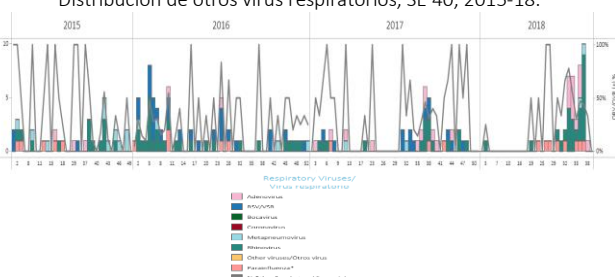
Graph 1. Trinidad & Tobago: Influenza virus distribution by EW, EW 44, 2015-18

Distribución de virus influenza por SE. SE 44. 2015-18

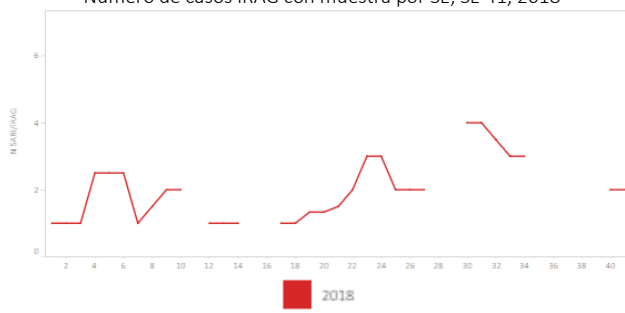


Graph 2. Trinidad & Tobago. Other respiratory virus distribution, EW 40, 2015-18

Distribución de otros virus respiratorios. SE 40. 2015-18.



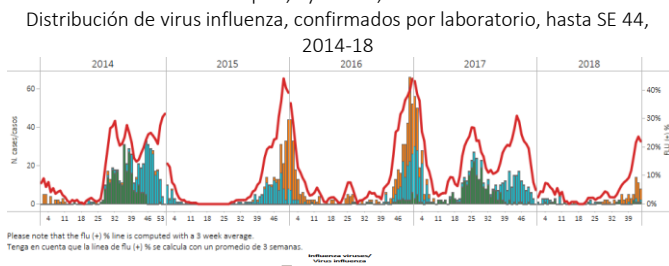
Graph 3. Trinidad & Tobago: Number of SARI cases with samples by EW, EW 41, 2018
Número de casos IRAG con muestra por SE, SE 41, 2018



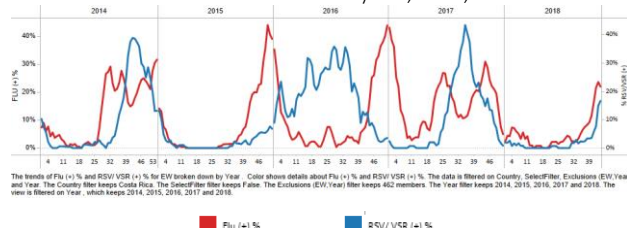
Costa Rica

- During EW 44, influenza activity remained elevated from the previous weeks with influenza A(H1N1)pdm09 and B co-circulating (Graph 1). Influenza activity during EW 44 was lower than during the 2017 season for the same period and RSV activity remained at low levels (Graph 1, 2). In EW 44, the proportion of SARI hospitalizations (2%) and the proportion of SARI-associated deaths (4%) were slightly lower than in the previous season for the same period, while the proportion of cases with ICU admissions (4%) slightly increased as compared to EW 44 of the 2017 season (Graph 3). / Durante la SE 44, la actividad de influenza permaneció elevada en relación a las semanas previas con co-circulación de influenza A(H1N1)pdm09 y B (Gráfico 1). La actividad de influenza durante la SE 44 fue menor que durante la temporada 2017 para el mismo período y la actividad de VSR permaneció a niveles bajos (Gráficos 1, 2). En la SE 44, la proporción de hospitalizaciones por IRAG (2%) y la proporción de muertes asociadas a IRAG (4%) fueron ligeramente menores que en la temporada previa para el mismo período, en tanto la proporción de casos de IRAG admitidos a UCI (4%) aumentó ligeramente en comparación con la SE 44 de la temporada 2017 (Gráfico 3).

Graph 1. Costa Rica: Influenza virus distribution, Laboratory confirmed samples, by EW 44, 2014-18



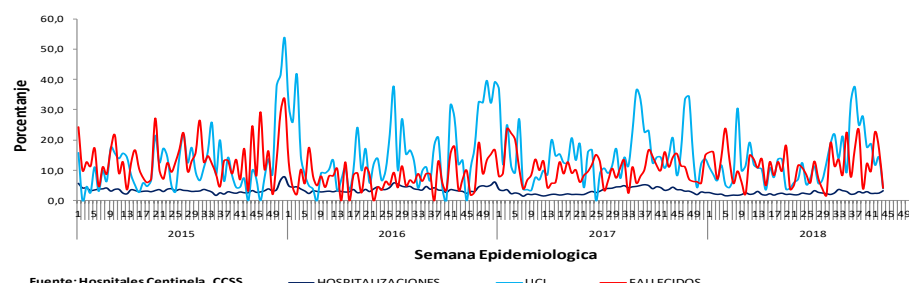
Graph 2. Costa Rica: Influenza and RSV distribution, EW 44, 2014-18
Distribución de virus influenza y VSR, SE 44, 2014-18



Graph 3. Costa Rica: Proportion of SARI hospitalizations, ICU admitions and deaths among all hospitalizations in sentinel sites by year. Costa Rica, EW 44, 2015-2018.

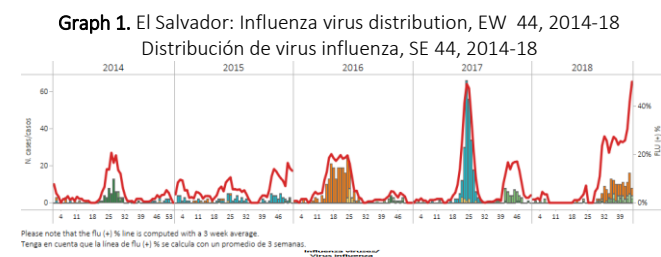
Distribución de hospitalizaciones por IRAG, admisiones a UCI y fallecidos sobre el total de hospitalizaciones en sitios centinela por año. Costa Rica, SE 44, 2015-2018

IRAG (%): Hospitalizaciones, admisiones a UCI y defunciones.
Hospitales Centinela, CESS. Costa Rica,
SE N°44 Período 2015 - 2018.

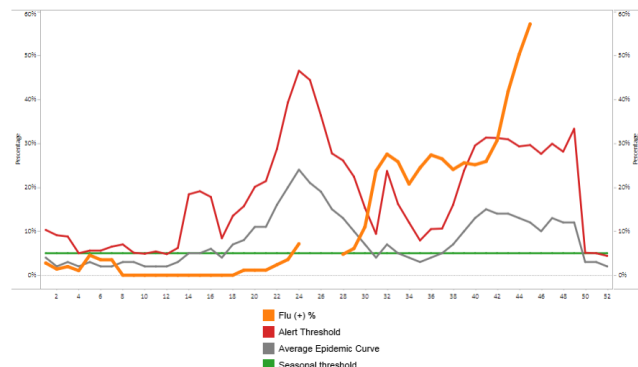


El Salvador

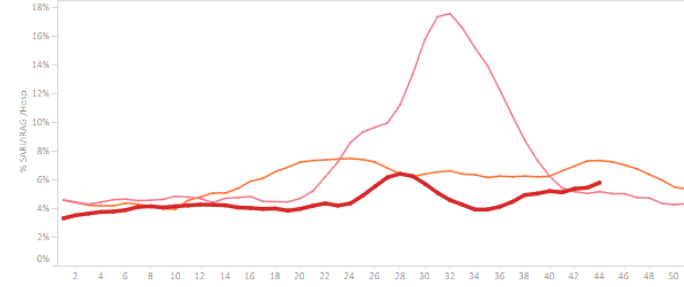
- During EW 44, influenza activity increased above the average epidemic curve with influenza A(H1N1)pdm09 and B co-circulating (Graphs 1, 3). No RSV detections were reported as compared to the previous season (Graph 2). During EW 44, SARI case counts slightly increased and were lower to levels observed in the 2016 season (Graph 4, 5); while pneumonia counts decreased from the levels reported during the 2016-2017 seasons (Graph 5). / Durante la SE 44, la actividad de influenza aumentó sobre la curva epidémica promedio con co-circulación de influenza A(H1N1)pdm09 y B (Gráficos 1, 3). No se reportaron detecciones de VSR en relación a la temporada anterior (Gráfico 2). Durante la SE 44, los casos IRAG aumentaron ligeramente y fueron menores a los niveles registrados en la temporada 2016 (Gráfico 4); en tanto los recuentos de neumonía disminuyeron en relación a los niveles reportados durante las temporadas 2016-2017 (Gráfico 5).



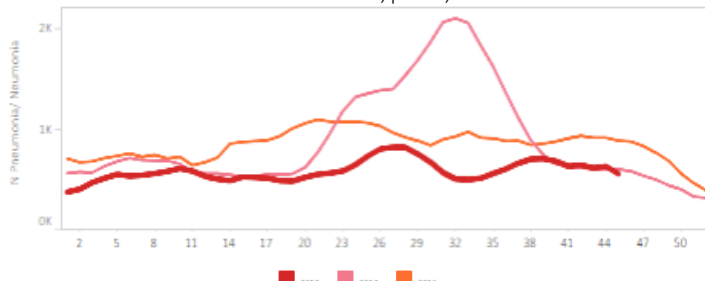
Graph 3. El Salvador: Percent positivity for influenza, EW 44, 2018 (in comparison to 2010-2016)
Porcentaje de positividad de influenza, SE 44, 2018 (en comparación a 2010-2016)



Graph 4. El Salvador: Number of SARI cases out of total hospitalizations, by EW, 2016-2018. EW 44.
Número de casos por IRAG de todas las hospitalizaciones, por SE, 2016-2018. SE 44.



Graph 5. El Salvador: Number of pneumonia cases by EW, 2016-2018. EW 44.
Recuento de casos de neumonía, por SE, 2016-2018. SE 44.

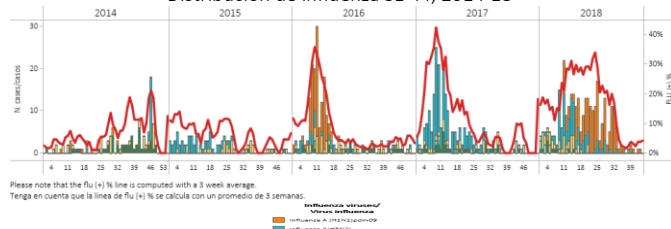


*To view more epi data, view [here](#). / Para ver mas datos epi, vea [aquí](#).

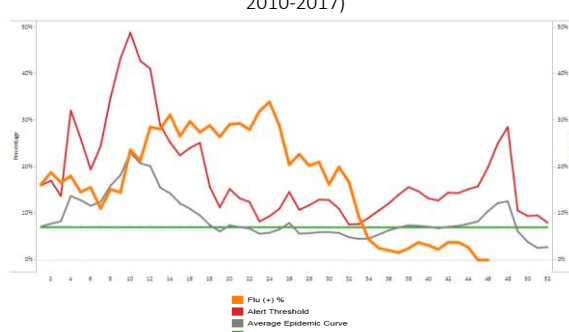
Guatemala

- During EW 44, influenza detections increased with influenza A(H1N1)pdm09 predominating (Graph 1). Influenza positivity was below the seasonal threshold, as compared to the 2010-2017 period (Graph 3); while the RSV activity remained elevated in the last weeks and higher than the levels reported in the 2017 season (Graph 2). From EW 28 to EW 44, the percentage of SARI cases among all hospitalizations was higher than during the 2017 season and associated to increased proportion of RSV detections compared to influenza detections (Graph 4, 5). The highest proportion of SARI cases was among <5 years old population. From EW 1 to EW44, 2018, fewer SARI cases (770 cases), as well as influenza-associated SARI cases (22 cases) and SARI-associated deaths (18 cases) were reported than in the previous season. During EW 44, pneumonia and ARI activity were similar to the counts reported in the 2017 season (Graph 6, 7). / Durante la SE 44, las detecciones de influenza aumentaron con predominio de influenza A(H1N1)pdm09 (Gráfico 1). La positividad de influenza se ubicó bajo el umbral estacional, en comparación al período 2010-2017 (Gráfico 3); en tanto la actividad de VSR permaneció elevada en las últimas semanas y fue superior a los niveles de la temporada 2017 (Gráfico 2). Desde la SE 28 hasta la SE 44, el porcentaje de casos de IRAG del total de hospitalizaciones fue superior que en la temporada 2017 y asociada a mayor proporción de detecciones de VSR comparado con las detecciones de influenza (Gráficos 4, 5). La mayor proporción de casos de IRAG fue entre la población de <5 años de edad (Gráfico 4). Desde la SE1 a la SE 44 de 2018, se reportaron menos casos de IRAG (770 casos), así como de casos de IRAG asociados a influenza (22 casos) y fallecidos por IRAG (18 casos) que en la temporada previa. Durante la SE 44, las actividades de neumonía e IRA fueron similares a los recuentos reportados en la temporada 2017 (Gráficos 6, 7).

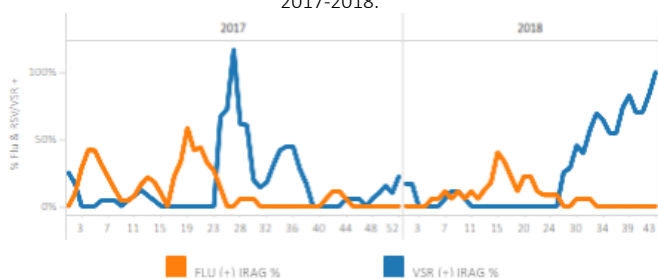
Graph 1. Guatemala. Influenza virus distribution EW 44, 2014-18
Distribución de influenza SE 44, 2014-18



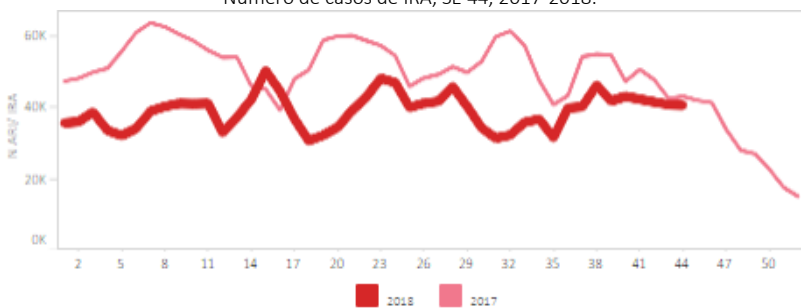
Graph 3. Guatemala: Percent positivity for influenza, EW 44, 2018 (in comparision to 2010-2017)
Porcentaje de positividad de influenza, SE 44, 2018 (en comparación con 2010-2017)



Graph 5. Guatemala: Percent positivity for influenza and RSV among SARI cases, EW 44, 2017-2018. /
Porcentaje de positividad de influenza y VSR entre los casos de IRAG, SE 44, 2017-2018.



Graph 7. Guatemala: Number of ARI cases, EW 44, 2017-2018. /
Número de casos de IRA, SE 44, 2017-2018.

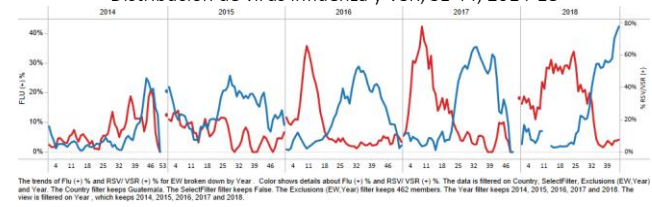


*To view more epi data, view [here](#). / Para ver mas datos epi, vea [aquí](#).

Honduras

- During EW 44, at the sentinel sites, influenza activity slightly decreased below the seasonal threshold (Graph 3) with influenza A(H1N1)pdm09 predominating (Graph 1); increased RSV activity was reported in the last month (Graph 2). The influenza positive cases were reported mainly from Cortes and Francisco Morazán departments and most cases were among children under 5 years of age. During EW 41, the counts of SARI cases and SARI-associated deaths decreases as compared to the previous weeks and remained lower than the levels of the 2012-2017 seasons (Graph 4). / Durante la SE 44 de 2018, en los sitios centinela, la actividad de influenza disminuyó ligeramente bajo el umbral estacional (Gráfico 3) con predominio de influenza A(H1N1)pdm09 (Gráfico 1); se reportó mayor actividad de VSR en el último mes (Gráfico 2). Los casos positivos de influenza fueron reportados principalmente en los departamentos de Cortés y Francisco Morazán, y la mayoría de los casos fueron en niños menores de 5 años de edad. Durante la SE 41, el recuento de casos de IRAG y de

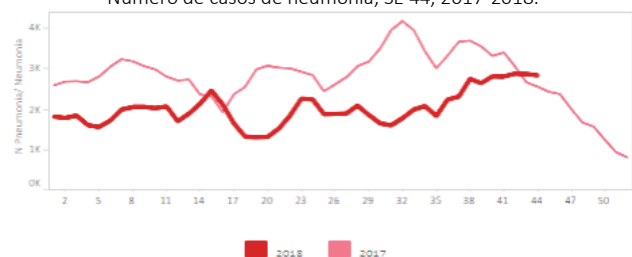
Graph 2. Guatemala: Influenza and RSV distribution, EW 44, 2014-18
Distribución de virus influenza y VSR, SE 44, 2014-18



Graph 4. Guatemala: Percentage of SARI cases among all hospitalizations, EW 44, 2017-2018. /
Porcentaje de casos IRAG del total de hospitalizaciones, SE 44, 2017-2018.

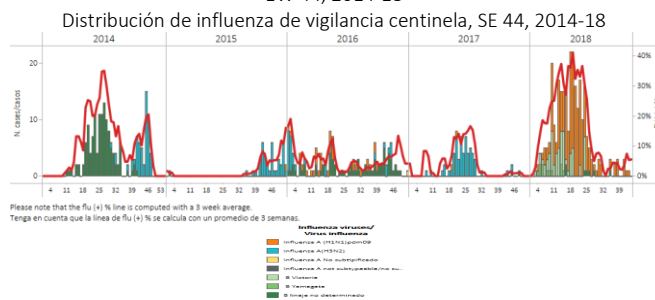


Graph 6. Guatemala: Number of pneumonia cases, EW 44, 2017-2018. /
Número de casos de neumonía, SE 44, 2017-2018.

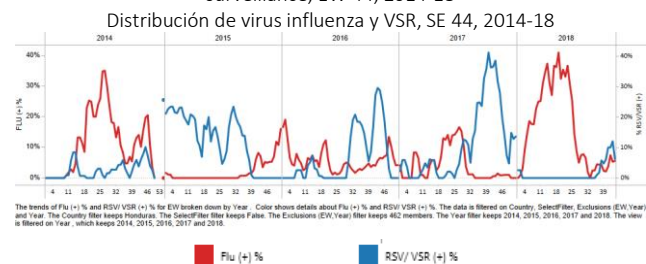


muertes asociadas a IRAG disminuyeron en comparación a las semanas previas y permanecieron menores a los niveles de las temporadas 2012-2017 (Gráfico 4).

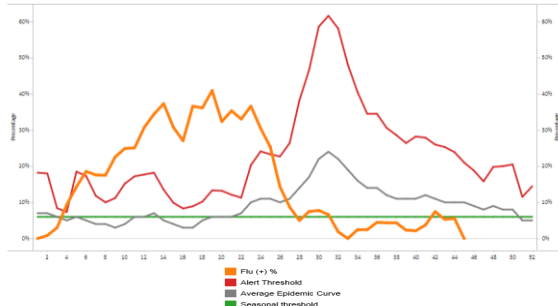
Graph 1. Honduras. Influenza virus distribution from sentinel surveillance, EW 44, 2014-18



Graph 2. Honduras: Influenza and RSV distribution form sentinel surveillance, EW 44, 2014-18



Graph 3. Honduras : Percent positivity for influenza,from sentinel surveillance, EW 44, 2018 (in comparision to 2010-2017)
Porcentaje de positividad de influenza, de la vigilancia centinela, SE 44, 2018 (en comparación con 2010-2017)



Graph 4. Honduras: Number of SARI cases out of total hospitalizations, EW 41, 2012-2018. / Número de casos IRAG de todas hospitalizaciones, SE 41, 2012-2018.



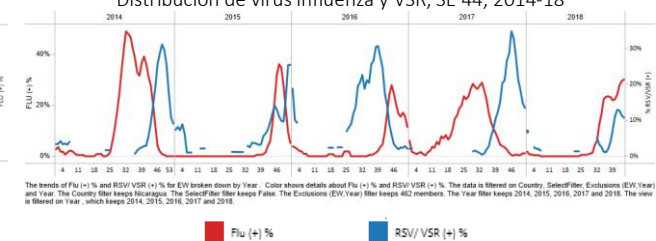
Nicaragua

- During the 2018 season, influenza activity was reported at low levels. From EW 29 to EW 44, influenza A(H1N1)pdm09 activity remained elevated above the seasonal levels and the average epidemic curve (Graph 1, 3), and RSV activity slightly decreased in the last week (Graph 2). From EW 29 to EW 42, pneumonia case counts increased similar to the levels observed in 2014-2017 and higher than in the 2015 season for the same period (Graph 4). The ARI case counts slightly decreased in EW 42 and were similar to the levels reported in 2015-2017 for the same period (Graph 5). / Durante la temporada 2018, la actividad de influenza se reportó a niveles bajos. Desde la SE 29 a la SE 44, la actividad de influenza A(H1N1)pdm09 permaneció elevada sobre los niveles estacionales y la curva epidémica promedio (Grafico 1), y los niveles de VSR disminuyeron ligeramente en la última semana (Gráfico 2). Desde la SE 29 a la SE 42, el recuento de casos de neumonía aumentó en forma similar a los niveles observados en 2014-2017 y mayores que en la temporada 2015 para el mismo período (Gráfico 4). Los recuentos de IRA disminuyeron ligeramente en la SE 42 y fueron similares a los niveles reportados en 2015-2017 para el mismo período (Gráfico 5).

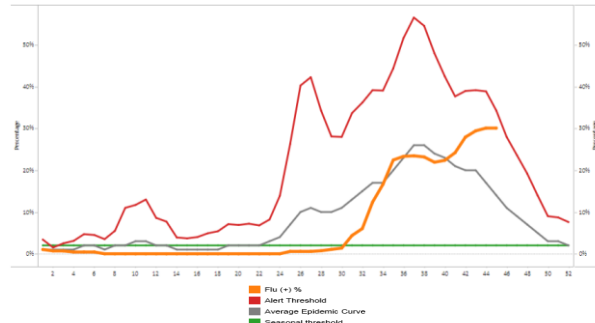
Graph 1. Nicaragua. Influenza virus distribution EW 44, 2014-18
Distribución de influenza SE 44, 2014-18



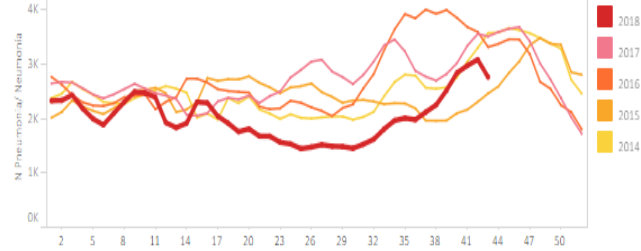
Graph 2. Nicaragua: Influenza and RSV distribution, EW 44, 2014-18
Distribución de virus influenza y VSR, SE 44, 2014-18



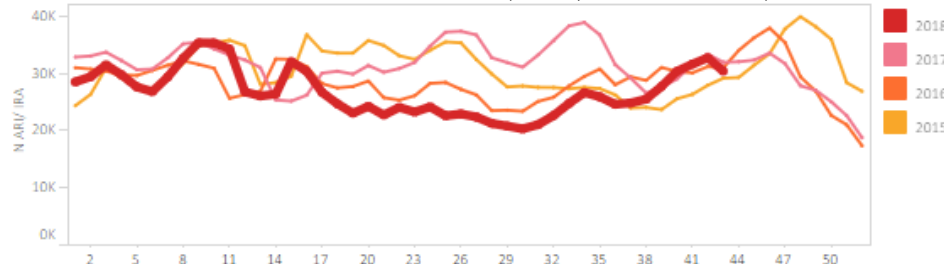
Graph 3. Nicaragua : Percent positivity for influenza,from sentinel surveillance, EW 44, 2018 (in comparision to 2010-2017)
Porcentaje de positividad de influenza, de la vigilancia centinela, SE 44, 2018 (en comparación con 2010-2017)



Graph 4. Nicaragua : Number of pneumonia cases, EW 43, 2018 (in comparison to 2014-2017) / Número de casos de neumonía, SE 43, 2018 (en comparación a 2014-2017).



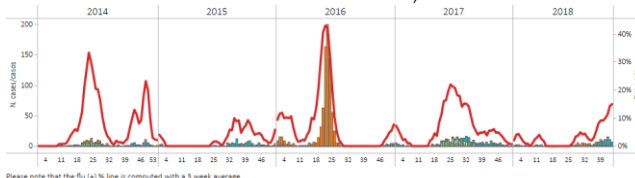
Graph 5. Nicaragua : Number of ARI cases, EW 43, 2018 (in comparison to 2015-2017) / Número de casos de IRA, SE 43, 2018 (en comparación a 2015-2017).



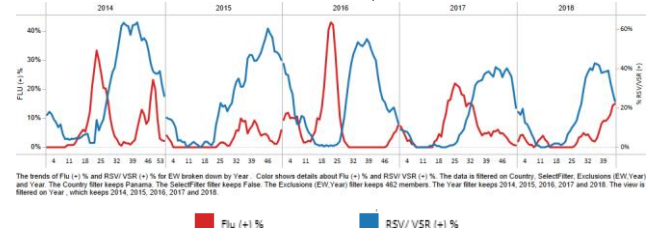
Panama

- During the 2018 season, at the national level, influenza activity increased. In EW 44, increased influenza percent of positivity was reported with influenza A(H3N2) predominance (Graph 1). RSV detections slightly decreased as compared to previous weeks (Graph 2). / Durante la temporada 2018, a nivel nacional, la actividad de influenza aumentó. En la SE 44, se han reportado mayor porcentaje de positividad de influenza con predominio de influenza A(H3N2) (Gráfico 1). Las detecciones de VSR disminuyeron ligeramente respecto a las semanas previas (Gráfico 2).

Graph 1. Panama. Influenza virus distribution EW 44 2014-18
Distribución de influenza SE 44, 2014-18



Graph 2. Panama: Influenza and RSV distribution, EW 44, 2014-18
Distribución de virus influenza y VSR, SE 44, 2014-18

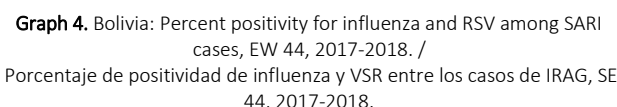
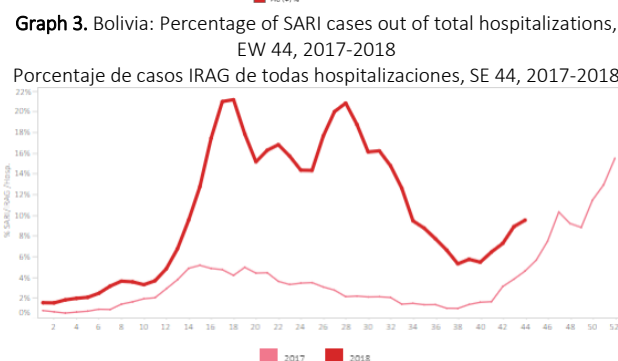
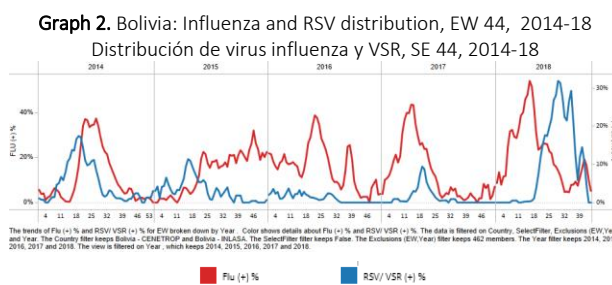
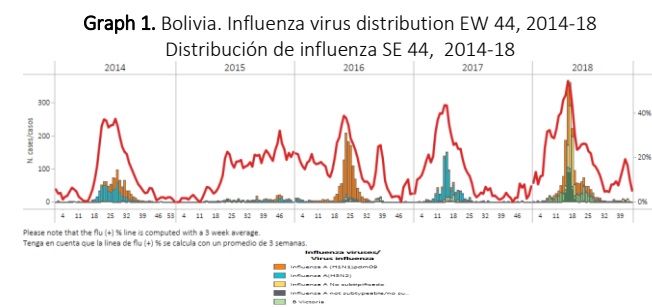


*To view more epi data, view [here](#). / Para ver mas datos epi, vea [aquí](#).

South America / América del Sur – Andean countries / Países andinos:

Bolivia

- During EW 44 and in recent weeks, at the national level, the percentage of SARI cases increased from the previous weeks and was higher than the levels observed in the 2017 season for the same period (Graph 3); with RSV percent positivity among SARI cases higher than influenza positivity (Graph 4). Influenza activity slightly decreased from the previous week with influenza B and A(H1N1)pdm09 co-circulating. RSV activity peaked during EW 29 with a downward slope since EW 33 (Graph 1, 2). In La Paz and Santa Cruz, in EW 44, the number of SARI cases decreased below the seasonal levels from previous weeks, with influenza B and A co-circulating. / Durante la SE 44 y en semanas recientes, a nivel nacional, el porcentaje de IRAG aumentó respecto a semanas previas y fue mayor a los niveles observados en la temporada 2017 para el mismo período (Grafico 3); con un porcentaje de positividad de VSR entre los casos de IRAG mayor que la positividad de influenza (Gráfico 4). La actividad de influenza disminuyó ligeramente respecto a la semana previa con co-circulación de influenza B y A(H1N1)pdm09 (Gráfico 1). La actividad del VRS llegó a su pico en la SE 29 con una pendiente descendiente desde la SE 33 (Gráfico 2). En La Paz y en Santa Cruz, en la SE 44, el recuento de casos de IRAG disminuyó por debajo del nivel estacional en relación a semanas previas, con co-circulación de influenza B y A.

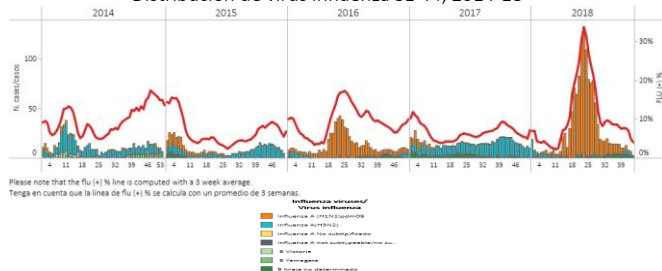


*To view more epi data, view [here](#). / Para ver más datos epi, vea [aquí](#).

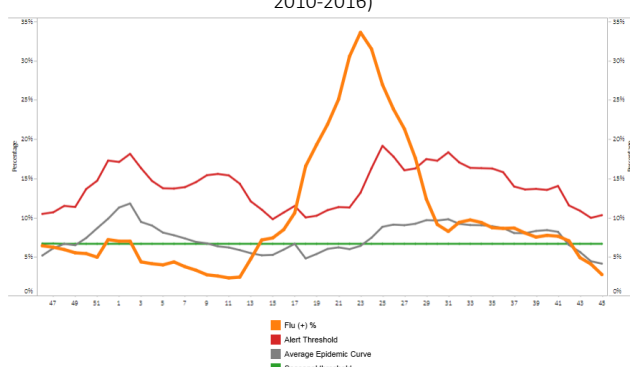
Colombia

- During EW 44, at national level, SARI case counts were lower as compared to the previous seasons for the same period and was below the seasonal threshold and the alert threshold (Graph 4). In EW 44, influenza activity decreased as compared to the previous weeks with influenza A(H3N2) and B co-circulating (Graphs 1, 3); while RSV percent positivity slightly decreased (Graph 2). During EW 44, pneumonia activity was at the epidemic average curve for the period and ARI activity decreased at seasonal levels; both were similar as compared to the levels reported during the 2014-2017 seasons (Graph 5, 6). / En la SE 44, a nivel nacional, el número de casos de IRAG fue menor en comparación a las temporadas previas para el mismo período, situándose por debajo del umbral estacional y de alerta (Grafico 4). Durante la SE 44, la actividad de influenza disminuyó en comparación a las semanas anteriores con circulación de influenza A(H3N2) y B (Gráficos 1, 3); en tanto la positividad de VSR disminuyó ligeramente (Gráfico 2). Durante la SE 44, la actividad de neumonía se ubicó en la curva epidémica promedio para el período y la actividad de IRA disminuyó a niveles estacionales; ambos fueron similares en comparación a los niveles reportados durante las temporadas de 2014-2017 (Gráficos 5, 6).

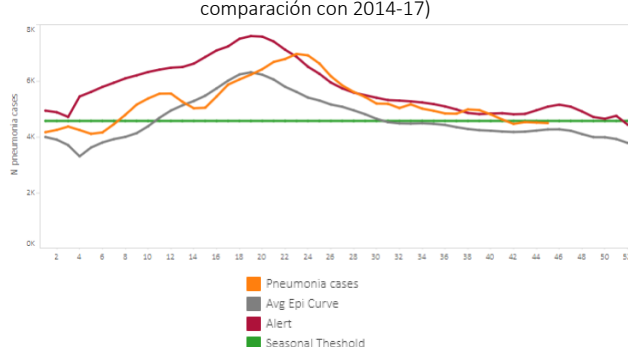
Graph 1. Colombia. Influenza virus distribution EW 44, 2014-18
Distribución de virus influenza SE 44, 2014-18



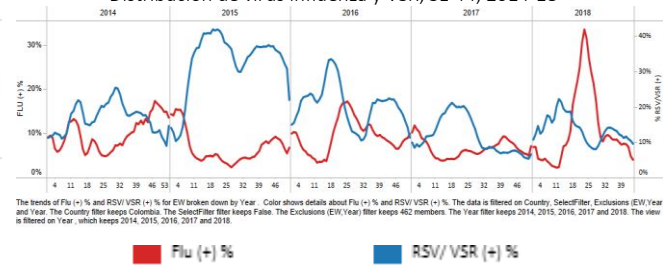
Graph 3. Colombia: Percent positivity for influenza, EW 44, 2017-18 (in comparision to 2010-2016)
Porcentaje de positividad de influenza, SE 44, 2017-18 (en comparación a 2010-2016)



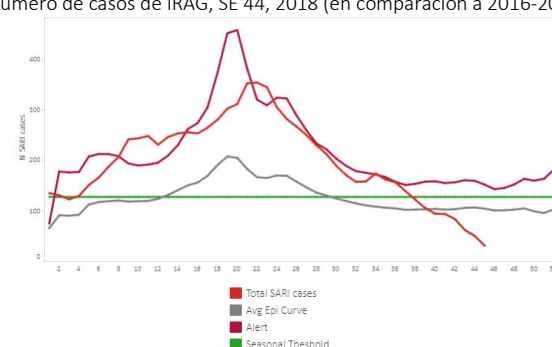
Graph 5. Colombia: Number of pneumonia-related hospitalizations, by EW 44, 2018 (in comparison with 2014-17)
Número de hospitalización asociado a neumonía, por SE 44, 2018 (en comparación con 2014-17)



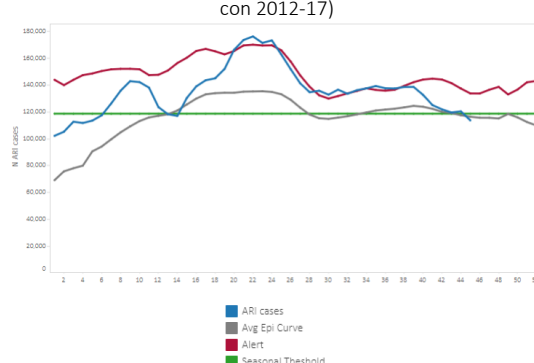
Graph 2. Colombia: Influenza and RSV distribution, EW 44, 2014-18
Distribución de virus influenza y VSR, SE 44, 2014-18



Graph 4. Colombia: Number of SARI cases, EW 44, 2018 (in comparison to 2016-2017)
Número de casos de IRAG, SE 44, 2018 (en comparación a 2016-2017)



Graph 6. Colombia: Number of ARI cases, EW 44 (from all consultations), (in comparison with 2012-17)
Número de los casos IRA, SE 44 (de todas consultas), (en comparación con 2012-17)

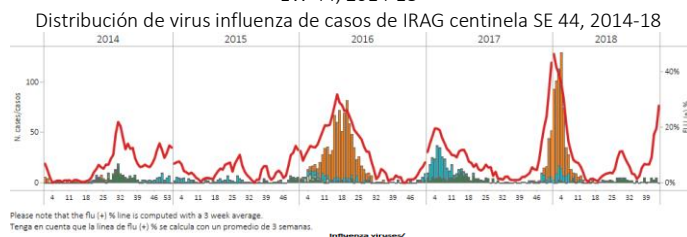


*To view more epi data, view [here](#). / Para ver mas datos epi, vea [aquí](#).

Ecuador

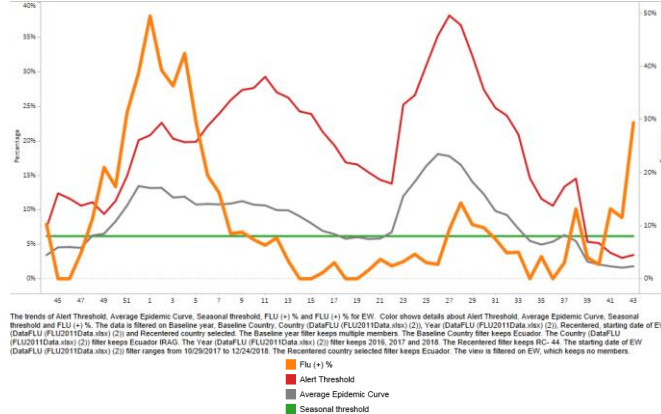
- During EW 43, at national level, the number of SARI cases among all hospitalizations slightly increased from previous weeks and remained similar to the levels observed during the 2016 -2017 seasons for the same period (Graph 4). During EW 44, influenza activity increased as compared to the previous weeks above the seasonal threshold, with influenza B predominating (Graph 2). Influenza percent positivity was similar to the levels reported during the prior season for the same period, with low RSV activity (Graph 1, 2). / Durante la SE 43, a nivel nacional, el número de casos de IRAG del total de hospitalizaciones aumentó ligeramente en relación a semanas previas y se mantuvo similar a los niveles observados durante 2016-2017 para el mismo período (Gráfico 4). En la SE 44, la actividad de influenza aumentó en comparación con las semanas previas sobre el umbral estacional, con predominio de influenza B (Gráfico 2). El porcentaje de positividad de influenza fue similar a los niveles registrados en la temporada previa para el mismo período, con baja actividad de VSR (Gráficos 1, 2).

Graph 1. Ecuador IRAG: Influenza virus distribution from SARI sentinel cases by EW 44, 2014-18



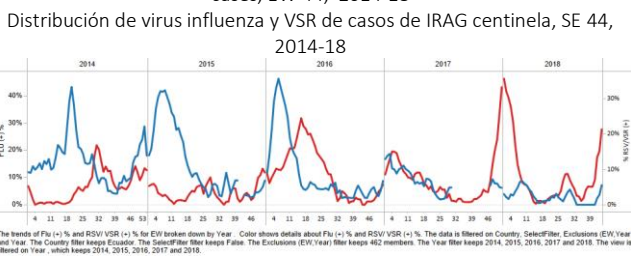
Graph 3. Ecuador: Percent positivity for all influenza cases, EW 43, 2018 (in comparision to 2010-2017)

Porcentaje de positividad de todos casos de influenza, SE 43, 2018 (en comparación a 2010-2017)



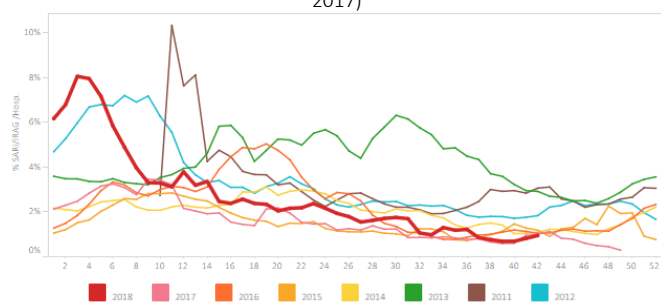
*To view more epi data, view [here](#). / Para ver mas datos epi, vea [aquí](#).

Graph 2. Ecuador IRAG: Influenza and RSV distribution from SARI sentinel cases, EW 44, 2014-18



Graph 4. Ecuador: Number of SARI, as of EW 43, 2018 (compared to 2015-2017)

Número de casos de IRAG, hasta la SE 43, 2018 (en comparacion a 2015-2017)

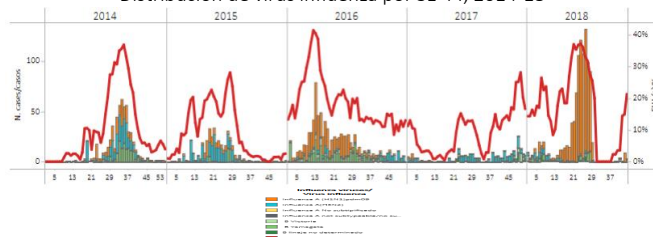


Peru

- During EW 44, at national level, SARI case counts among all hospitalizations decreased compared to previous weeks and remained higher than the 2015-2017 seasons for the same period (Graph 4). In EW 44, influenza activity increased below the alert threshold, with influenza A(H1N1)pdm09 and B circulating in recent weeks (Graph 1,3). No RSV detections were reported in EW 44, and RSV positivity was lower than levels observed in 2017 for the same period (Graph 2). During SE 44, at the national level, ARI case counts among the under 5 years of age population slightly decreased and were similar to the levels observed in 2016-2017 for the same period (Graph 5). However, the pneumonia case counts in infants under 5 years of age slightly increased and was higher than the counts reported in 2016-2017 for the same period (Graph 6). During EW 44, 16 departments reported pneumonia cumulative cases among the under 5 years of age children higher than the median of the 2013-2017 seasons for the same period: Amazonas, Ancash, Apurimac, Arequipa, Callao, Cusco, Huanuco, La Libertad, Lima, Madre de Dios, Moquegua, Pasco, Puno, Tacna, Tumbes and Ucayali*. En la SE 44, a nivel nacional, el número de casos de IRAG entre el total de hospitalizaciones disminuyó respecto a las semanas previas y se mantuvo superior a lo observado en las temporadas 2015-2017 para el mismo período (Gráfico 4). Durante la SE 44, la actividad de influenza aumentó bajo el umbral de alerta, con circulación de influenza A(H1N1)pdm09 y B en semanas previas (Gráficos 1,3). No se reportaron detecciones de VSR en la SE 44, y la positividad de VSR fue menor a los niveles observados en 2017 para el mismo período (Gráfico 2). Durante la SE 44, a nivel nacional, el recuento de casos de IRA en la población de menores de 5 años disminuyó ligeramente y fue similar a los niveles observados en 2016-2017 para el mismo período (Gráfico 5). Sin embargo, el recuento de casos de neumonía en niños menores de 5 años aumentó ligeramente y fue superior a los recuentos reportados en 2016-2017 para el mismo período (Gráfico 6). Durante la SE 44, 16 departamentos reportaron recuento de casos de neumonía en niños menores de 5 años superior a la mediana de las temporadas 2013-2017 para el mismo período: Amazonas, Ancash, Apurimac, Arequipa, Callao, Cusco, Huanuco, La Libertad, Lima, Madre de Dios, Moquegua, Pasco, Puno, Tacna, Tumbes y Ucayali *

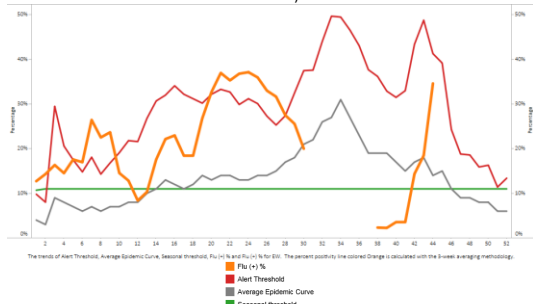
*Online report/ informe de linea

Graph 1. Peru: Influenza virus distribution by EW 44, 2014-18
Distribución de virus influenza por SE 44, 2014-18

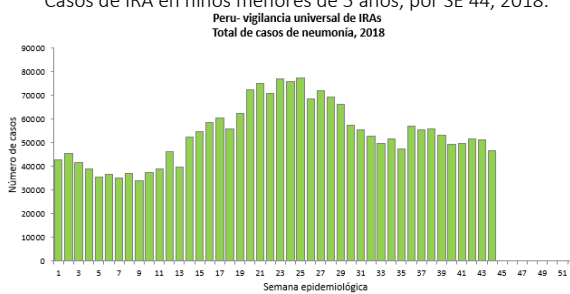


Graph 3. Perú: Percent positivity for influenza, EW 44, 2018 (in comparision to 2010-2017)
Porcentaje de positividad de influenza, SE 44, 2018 (en comparación a 2010-2017)

Peru-vigilancia universal de IRAs
Total de casos de neumonía, 2018

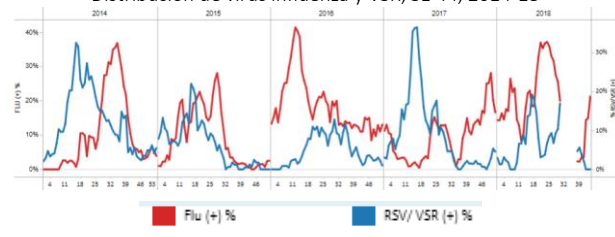


Graph 5. Peru. ARI cases in children under 5 years, by EW 44, 2018
Casos de IRA en niños menores de 5 años, por SE 44, 2018.



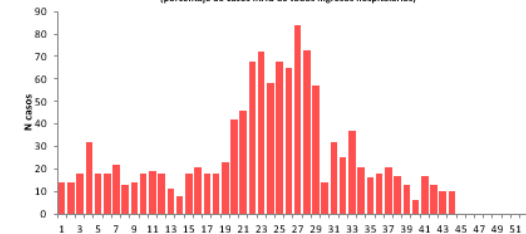
*To view more epi data, view [here](#). / Para ver mas datos epi, vea [aquí](#).

Graph 2. Peru: Influenza and RSV distribution, EW 44, 2014-18
Distribución de virus influenza y VSR, SE 44, 2014-18



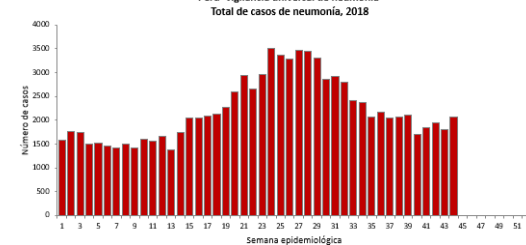
Graph 4. Peru: Number of SARI cases, by EW 44, 2018
Número de casos IRAG, por SE 44, 2018

Peru-vigilancia centinela de IRAG
Número de casos IRAG
(porcentaje de casos IRAG de todos ingresos hospitalarios)



Graph 6. Peru: Pneumonia cases in children under 5 years, by EW 44, 2018
Casos de neumonía en niños menores de 5 años, por SE 44, 2018

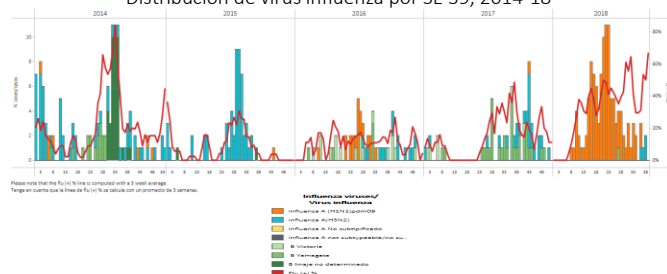
Peru-vigilancia universal de neumonía
Total de casos de neumonía, 2018



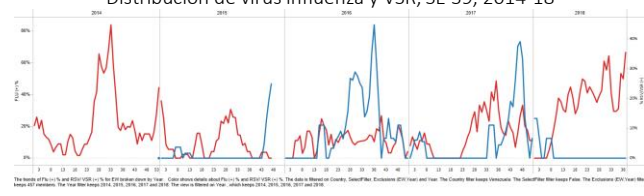
Venezuela

- During EW 39, influenza activity increased with influenza A(H1N1)pdm09 predominating, and few detections of influenza A(H3N2) (Graph 1, 2). Up to EW 39, no RSV detections were reported. / En la SE 39, la actividad de influenza aumentó con predominio de influenza A(H1N1)pdm09, y escasas detecciones de influenza A(H3N2) (Gráficos 1, 2). A la SE 39, no se reportaron detecciones por VSR (Gráfico 2).

Graph 1. Venezuela: Influenza virus distribution by EW 39, 2014-18
Distribución de virus influenza por SE 39, 2014-18



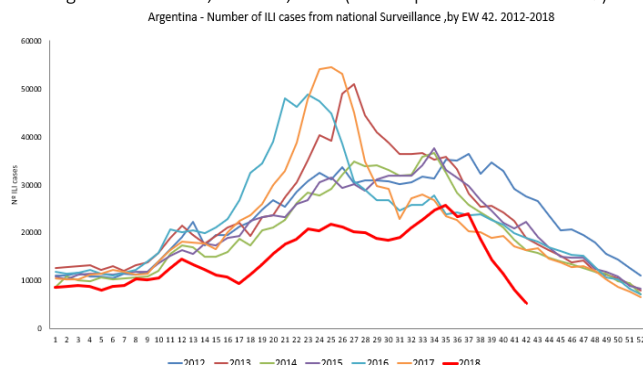
Graph 2. Venezuela: Influenza and RSV distribution, EW 39, 2014-18
Distribución de virus influenza y VSR, SE 39, 2014-18



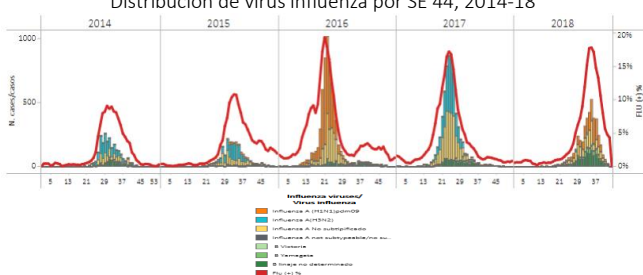
Argentina

- During EW 42, at national level, the counts of SARI and pneumonia cases decreased and were lower than the 2012-2017 seasons for the same period (Graph 2, 6). ILI activity was also low for the period (Graph 1). During EW 44, influenza activity decreased as compared with the previous weeks with overall few samples tested (Graphs 3, 5). RSV positivity decreased and was similar to the levels reported during the previous season for the same period (Graph 4). During EW 1-42, 2018, 81 influenza-associated deaths were reported, lower than the levels observed during the 2017 season for the same period (114 influenza-associated deaths), mostly among the 60 years of age population and older and with risk factors (70%). / Durante la SE 42, a nivel nacional los recuentos de IRAG y neumonía disminuyeron y fueron menores que durante las temporadas 2012-2017 para el mismo período (Gráficos 2, 6). La actividad de ETI fue baja para el período (Gráfico 1). Durante la SE 44, la actividad de influenza disminuyó en comparación con semanas previas, con recuento bajo de muestras estudiadas (Gráficos 3, 5). El porcentaje de positividad para VSR disminuyó y fue similar a lo registrado en la temporada previa para el mismo período (Gráficos 4). Durante las SE 1-42 de 2018, se reportaron 81 fallecidos asociados a influenza, menor a los niveles observados durante la temporada 2017 para el mismo período (114 muertes asociadas a influenza), en su mayoría entre la población de 60 años de edad y más, y con factores de riesgo (70%).

Graph 1. Argentina. Number of ILI cases from national surveillance by EW, EW 1-42, 2018 (compared to 2012-2017) / Número de casos de ETI de vigilancia nacional, SE 1- 42, 2018 (en comparación a 2012-2017)

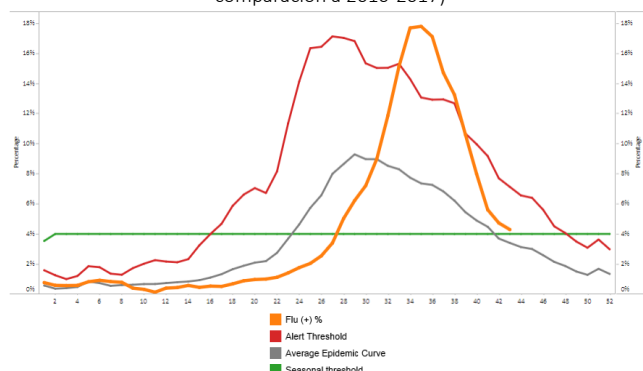


Graph 3. Argentina. Influenza virus distribution by EW 44, 2014-18
Distribución de virus influenza por SE 44, 2014-18

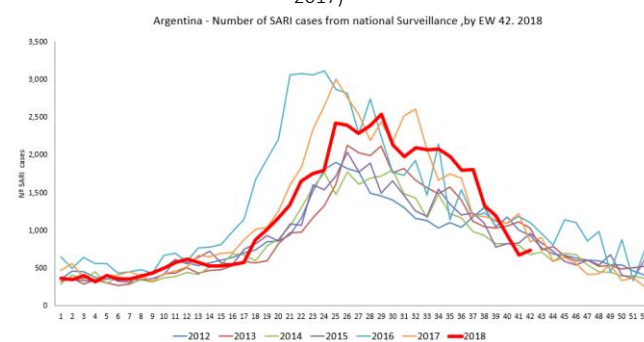


Graph 5. Argentina: Baseline for the percent positivity for influenza, EW 44, 2018 (in comparison to 2010-2017)

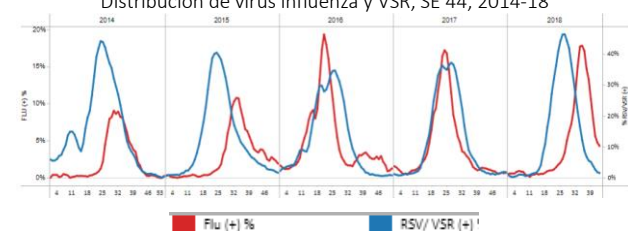
Línea basal para el porcentaje de positividad de influenza, SE 44, 2018 (en comparación a 2010-2017)



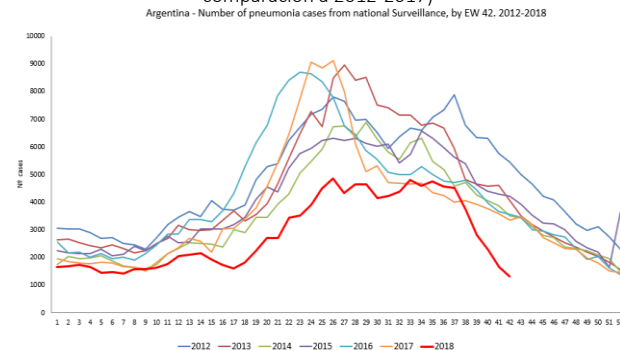
Graph 2. Argentina. Number of SARI cases from national surveillance by EW, EW 1-42, 2018 (compared to 2012-2017) / Número de casos de IRAG de vigilancia nacional, SE 1- 42, 2018 (en comparación a 2012-2017)



Graph 4. Argentina: Influenza and RSV distribution, EW 44, 2014-18
Distribución de virus influenza y VSR, SE 44, 2014-18



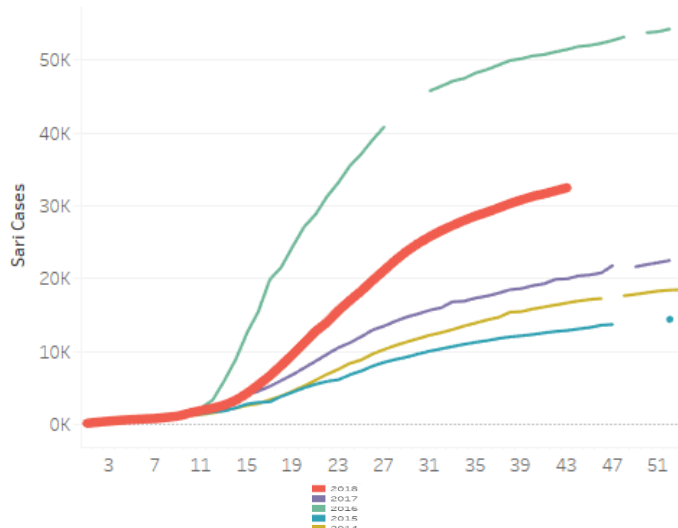
Graph 6. Argentina. Number of pneumonia cases from national surveillance by EW, EW 1-42, 2018 (compared to 2012-2017) / Número de casos de neumonía de vigilancia nacional, SE 1- 42, 2018 (en comparación a 2012-2017)



- In Brazil, during EW 43, cumulative SARI hospitalizations and deaths increased and were lower than in 2016 but higher than the other seasons for the same period (Graphs 1,2). During EW 42, the SARI case counts out of all hospitalizations were lower than in previous weeks and the 2015-2017 seasons (Graph 10). The cumulative number of influenza-associated SARI cases and SARI deaths were higher than the counts reported in 2017 and less than in 2016 (Graph 3, 4). During EW 42, a slight decrease in the detection of influenza positive cases was reported by the three NICs, with influenza A (H1N1)pdm09 and (H3N2) co-circulating, and some influenza B detections reported; RSV detections decreased in recent weeks (Graph 5-9). During EW 43, 25 states reported higher cumulative influenza-associated SARI/ILI case counts than the historic average 2014-2017 (>1 standard deviation above): Acre, Alagoas, Amapá, Bahia, Ceará, Distrito Federal, Espírito Santo, Goiás, Maranhão, Matto Grosso, Matto Grosso do Sul, Minas Gerais, Pará, Paraíba, Paraná, Pernambuco, Piauí, Rio Grande do Norte, Rio Grande do Sul, Rondonia, Santa Catarina, São Paulo, Sergipe and Tocantins (Graph 11). In EW 43, 21 states reported higher cumulative influenza-associated SARI/ILI deaths counts than the historic average 2014-2017 (>1 standard deviation above): Alagoas, Bahia, Ceará, Distrito Federal, Espírito Santo, Goiás, Maranhão, Matto Grosso, Matto Grosso do Sul, Minas Gerais, Paraíba, Paraná, Pernambuco, Piauí, Rio de Janeiro, Rio Grande do Norte, Rio Grande do Sul, Santa Catarina, São Paulo, Sergipe and Tocantins (Graph 12). / En Brasil, en la SE 43, las hospitalizaciones y los casos fallecidos por IRAG acumulados aumentaron y fueron menores que en 2016 pero superiores a las restantes temporadas para el mismo período (Gráficos 1, 2). Durante la SE 42, el recuento de casos de IRAG sobre el total de hospitalizaciones fue menor que las semanas previas y las temporadas 2015-2017 para el mismo período (Gráfico 10). El número acumulado de casos de IRAG por influenza y de casos fallecidos asociados a influenza fueron superiores a los recuentos de 2017 y menores a los recuentos reportados en 2016 (Gráficos 3, 4). En la semana 42, se ha detectado un ligero descenso de los casos positivos de influenza reportados por los tres NICs, con co-circulación de influenza A(H1N1)pdm09 y A(H3N2), junto con algunas detecciones de B; las detecciones de VSR disminuyeron en las últimas semanas (Gráficos 5-9). Durante la SE 43, 25 estados reportaron elevados recuentos acumulados de IRAG/ETI asociados a influenza en comparación al promedio histórico 2014-2017 (>1 desviación estándar arriba): Acre, Alagoas, Amapá, Bahia, Ceará, Distrito Federal, Espírito Santo, Goiás, Maranhão, Matto Grosso, Matto Grosso do Sul, Minas Gerais, Pará, Paraíba, Paraná, Pernambuco, Piauí, Rio Grande do Norte, Rio Grande do Sul, Rondonia, Santa Catarina, São Paulo, Sergipe y Tocantins (Gráfico 11). En la SE 43, 21 estados reportaron elevados recuentos acumulados de fallecidos por IRAG/ETI asociados a influenza en comparación al promedio histórico 2014-2017 (>1 desviación estándar arriba): Alagoas, Bahia, Ceará, Distrito Federal, Espírito Santo, Goiás, Maranhão, Matto Grosso, Matto Grosso do Sul, Minas Gerais, Paraíba, Paraná, Pernambuco, Piauí, Rio de Janeiro, Rio Grande do Norte, Rio Grande do Sul, Santa Catarina, São Paulo, Sergipe y Tocantins (Gráfico 12).

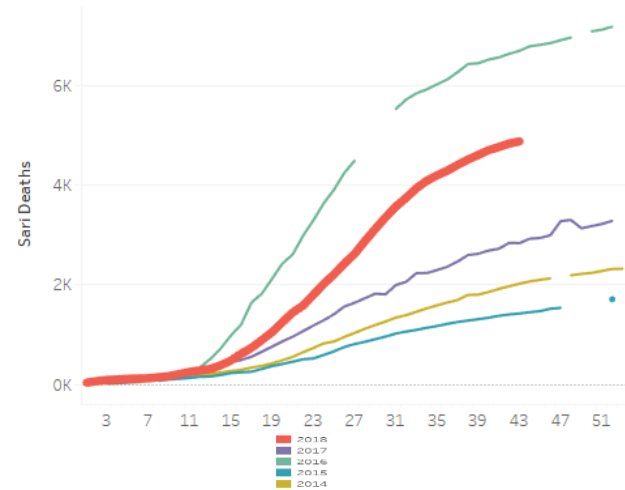
Graph 1. Brazil. Distribution of cumulative SARI-related cases, by EW 43, 2014-2018

Distribución de casos acumulados de IRAG, SE 43, 2014-2018

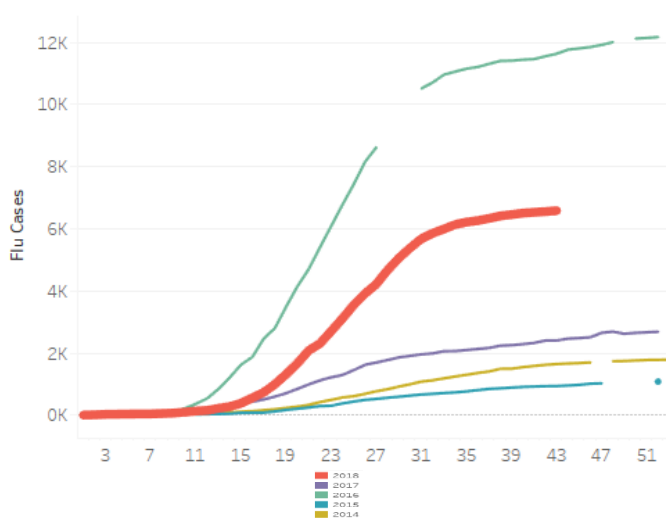


Graph 2. Brazil. Distribution of cumulative SARI-related deaths, by EW 43, 2014-2018

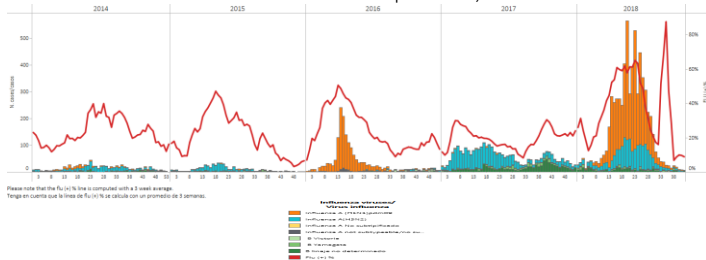
Distribución de fallecidos acumulados de IRAG, SE 43, 2014-2018



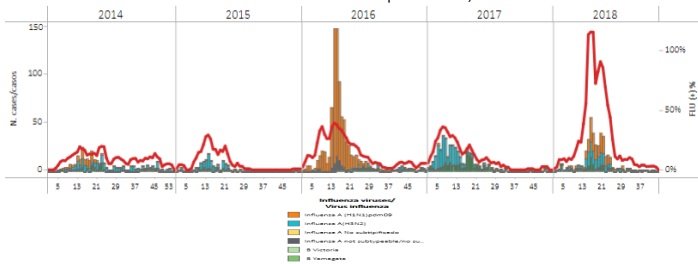
Graph 3. Brazil. Distribution of cumulative influenza-associated SARI-related cases, by EW 43, 2014-2018
Distribución de casos acumulados de IRAG asociados a influenza, SE 43, 2014-2018



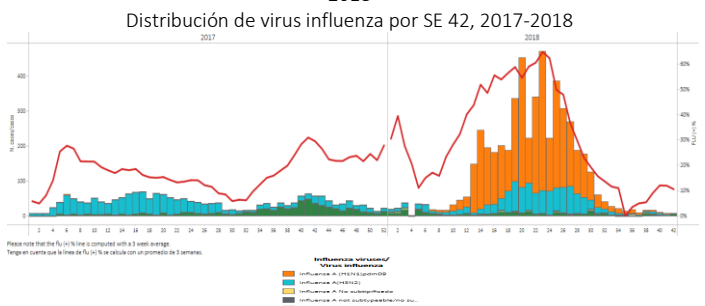
Graph 5. Brazil- All NICs. Influenza virus distribution by EW 42, 2014-2018
Distribución de virus influenza por SE 42, 2014-2018



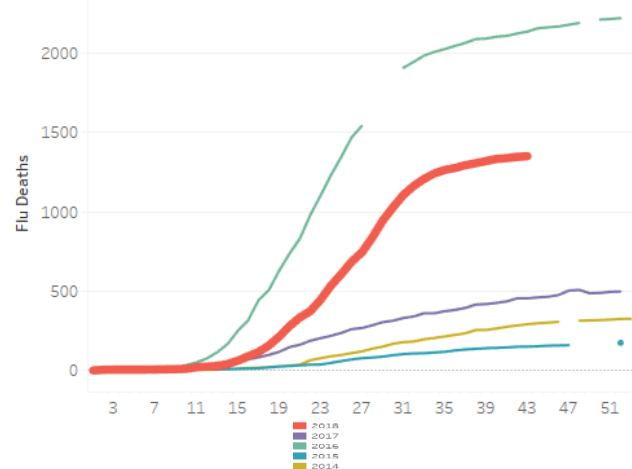
Graph 7. Brazil - NIC IEC. Influenza virus distribution by EW 44, 2014-2018
Distribución de virus influenza por SE 44, 2014-2018



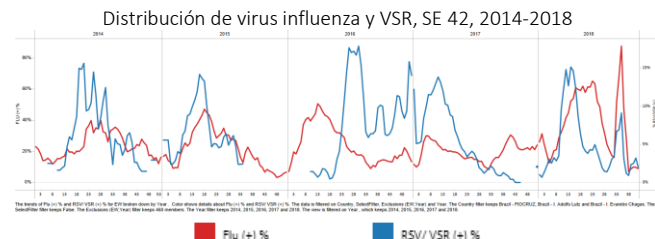
Graph 9. Brazil- NIC Adolfo Lutz. Influenza virus distribution by EW 42, 2017-2018
Distribución de virus influenza por SE 42, 2017-2018



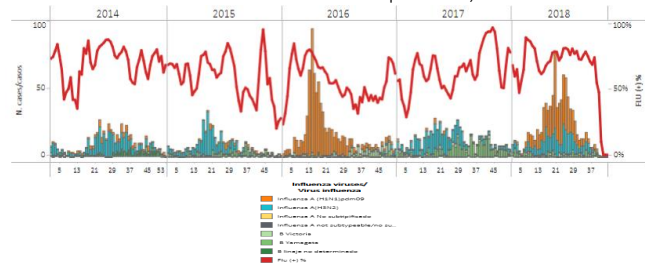
Graph 4. Brazil. Distribution of cumulative influenza-positive SARI-related deaths , by EW 43, 2014-2018
Distribución de fallecidos acumulados de IRAG positivos para influenza, SE 43, 2014-2018



Graph 6. Brazil – All NICs: Influenza and RSV distribution, EW 42, 2014-2018
Distribución de virus influenza y VSR, SE 42, 2014-2018



Graph 8. Brazil- NIC FIOCRUZ. Influenza virus distribution by EW 44, 2014-2018 Distribución de virus influenza por SE 44, 2014-2018

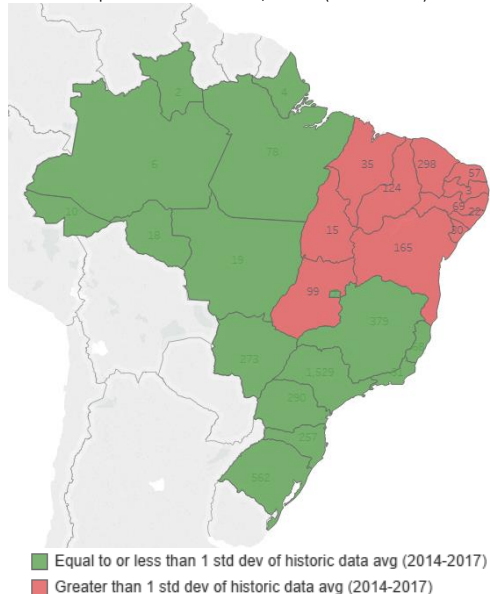


Graph 10. Brazil: Number of SARI cases out of all hospitalizations, by EW 42, 2018 (in comparison with 2015-17)
Número de casos IRAG de todas las hospitalizaciones, por SE 42, 2018 (en comparación con 2015-17)



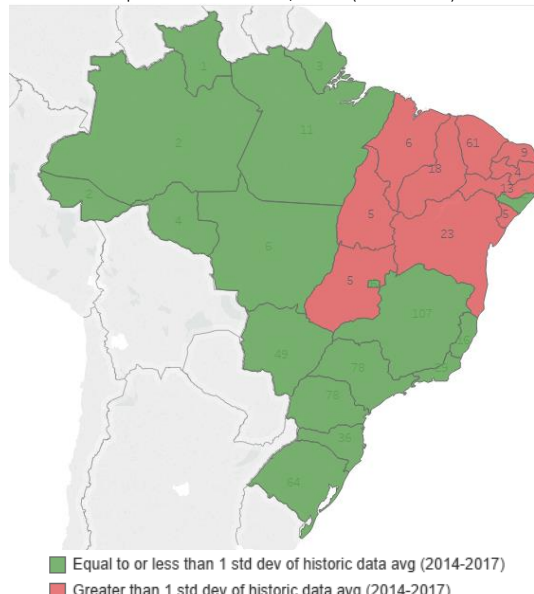
Graph 11. Brazil: Cumulative counts of influenza-associated SARI cases greater than historic average, EW 43 (2014-2018)

Recuentos acumulados de casos de IRAG asociados a influenza mayor al promedio histórico, SE 43 (2014-2018)



Graph 12. Brazil: Cumulative count of influenza-associated SARI deaths greater than historic average, EW 43 (2014-2018)

Recuentos acumulados de fallecidos por IRAG asociados a influenza mayor al promedio histórico, SE 43 (2014-2018)

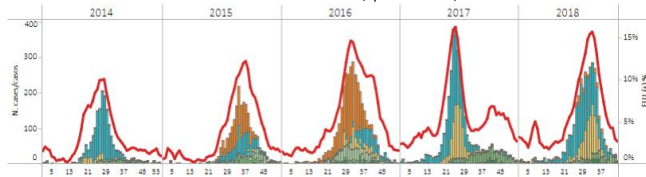


Chile

- During EW 44, at national level, the SARI cases slightly decreased from the previous weeks and remained above the alert threshold levels observed during 2015-2017 for the same period (Graph 4); while ILI activity continued at the average epidemic curve (Graph 5). In EW 44, influenza activity slightly decreased and remained below the historic average, with influenza B and A(H3N2) co-circulating (Graphs 1,3). RSV percent positivity peaked in EW 29 with a downward slope in EW 44, similar to the levels reported in 2017 for the same period (Graph 2). / Durante la SE 44, a nivel nacional, los casos de IRAG disminuyeron ligeramente respecto a las semanas previas y permanecieron sobre los niveles del umbral de alerta observados durante 2015-2017 para el mismo período (Gráfico 4), mientras que la actividad de ETI continuó en la curva epidémica promedio (Gráfico 5). En la SE 44, la actividad de influenza disminuyó ligeramente y permaneció bajo el promedio histórico, con co-circulación de influenza B y A(H3N2) (Gráficos 1, 3). El porcentaje de positividad de VSR presentó su pico en la SE 29 con una pendiente en descenso en SE 44, similar a los niveles reportados en 2017 para el mismo período (Gráfico 2).

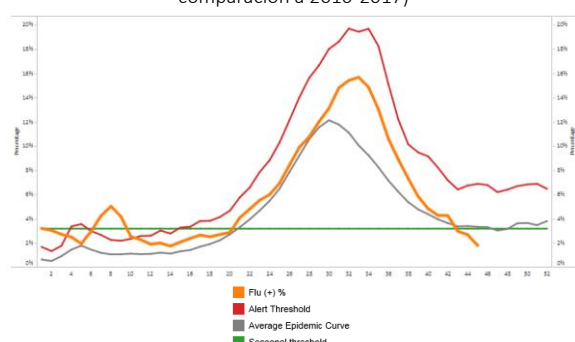
Graph 1. Chile: Influenza virus distribution by EW 44, 2014-18

Distribución de virus de influenza, por SE 44, 2014-18



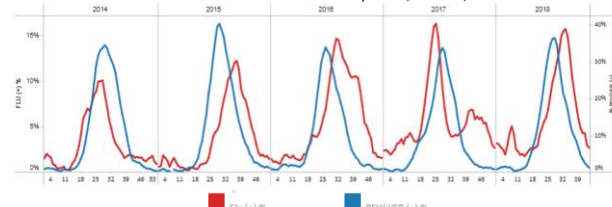
Graph 3. Chile: Baseline for the percent positivity for influenza, EW 44, 2018 (in comparision to 2010-2017)

Línea basal para el porcentaje de positividad de influenza, SE 44, 2018 (en comparación a 2010-2017)



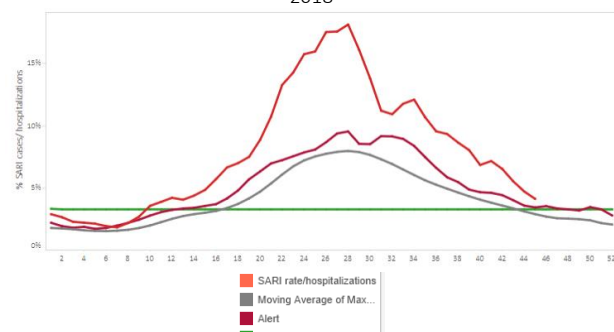
Graph 2. Chile: Influenza and RSV distribution, EW 44, 2014-18

Distribución de virus influenza y VSR, SE 44, 2014-18

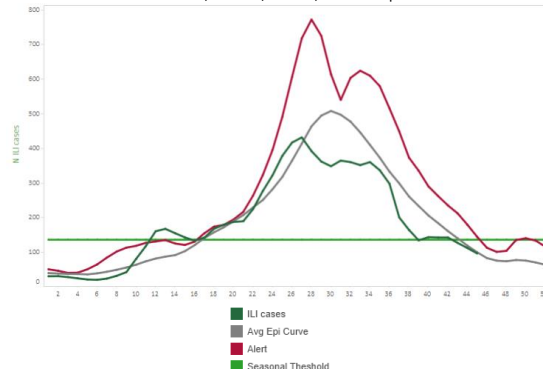


Graph 4. Chile. Percent of SARI cases from all hospitalizations, EW 44, 2015-2018,

Porcentaje de casos IRAG por las hospitalizaciones totales, SE 44, 2015-2018



Graph 5. Chile. Number of ILI cases, EW 44, 2018, in comparison 2015-17
Número de casos ETI, SE 44, 2018, en comparación 2015-17

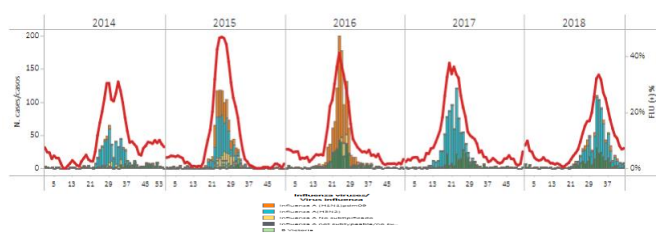


*To view more epi data, view [here](#). / Para ver mas datos epi, vea [aquí](#).

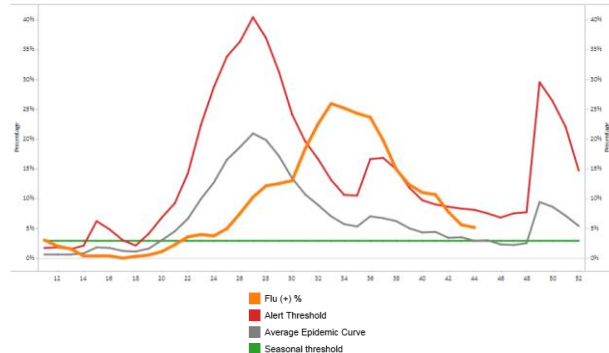
Paraguay

- During EW 44, at national level, the SARI cases decreased from the previous weeks and continued above the alert threshold (Graph 5), with a predominance among the under 5 and above 60 years of age population. In EW 44, the percent of SARI deaths out of total deaths decreased (Graph 6) with 70% of associated comorbidities and among the 60 years of age and older. A total of 45 influenza-associated SARI deaths were reported during 2018, slightly higher than the levels observed in the previous season for the same period (34 cases). ILI activity remained above the seasonal levels and peaked later than in the previous 2016-2017 seasons (Graph 4). In EW 44, influenza activity decreased from the previous weeks with predominance of influenza A(H3N2) (Graphs 1, 3); while RSV positivity decreased (Graph 2). / Durante la SE 44, a nivel nacional, los casos de IRAG disminuyeron con respecto a las semanas previas y continuaron por encima del umbral de alerta (Gráfico 5), con predominio entre la población menor de 5 años y mayor de 60 años. En la SE 44, el porcentaje de muertes por IRAG del total de muertes disminuyó (Gráfico 6) con 70% de comorbilidades asociadas y entre los mayores de 60 años. Durante 2018 se informó un total de 45 muertes por IRAG asociadas a influenza, ligeramente superiores a los niveles observados en la temporada anterior para el mismo período (34 casos). La actividad de ETI permaneció sobre los niveles estacionales y alcanzó su punto máximo más tarde que en temporadas anteriores de 2016-2017 (Gráfico 4). En la SE 44, la actividad de influenza disminuyó respecto a las semanas previas con predominio de influenza A(H3N2) (Gráficos 1, 3); mientras que la positividad de VSR disminuyó (Gráfico 2).

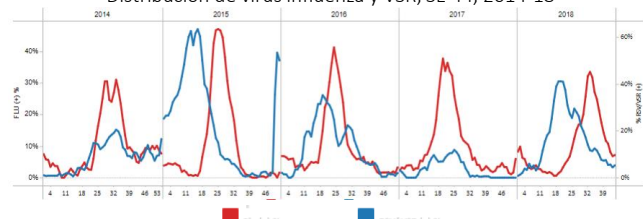
Graph 1. Paraguay: Influenza virus distribution EW 44, 2014-18
Distribución de virus de influenza, SE 44, 2014-18



Graph 3. Paraguay SARI sentinel sites: Baseline for the percent positivity for influenza, EW 43, 2018 (in comparison to 2010-2017)
Línea basal para el porcentaje de positividad de influenza, SE 43, 2018 (en comparación a 2010-2017)



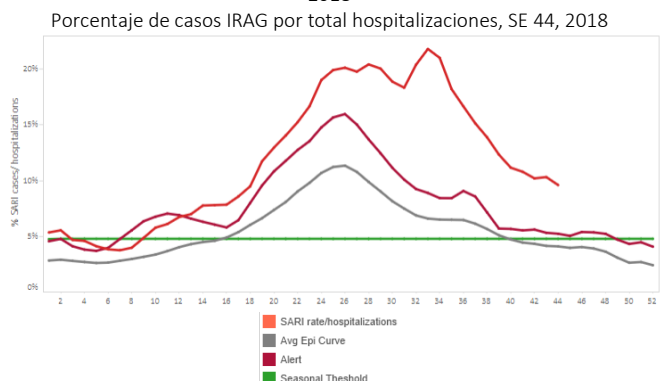
Graph 2. Paraguay: Influenza and RSV distribution, EW 44, 2014-18
Distribución de virus influenza y VSR, SE 44, 2014-18



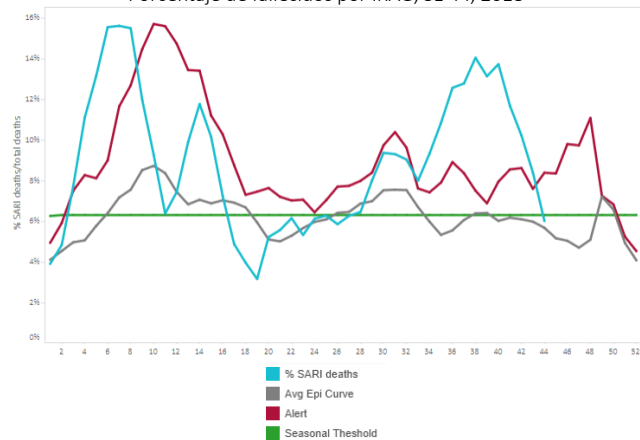
Graph 4. Paraguay: Proportion of ILI consultations, EW 44, 2018 (as compared to 2015-2017)/
Proporción de consultas por ETI, SE 44, 2018 (en comparación a 2015-2017)



Graph 5. Paraguay: Percent of SARI cases per total hospitalizations, EW 44, 2018
Porcentaje de casos IRAG por total hospitalizaciones, SE 44, 2018



Graph 6. Paraguay: Percent of SARI deaths per total deaths, EW 44, 2018.
Porcentaje de fallecidos por IRAG, SE 44, 2018

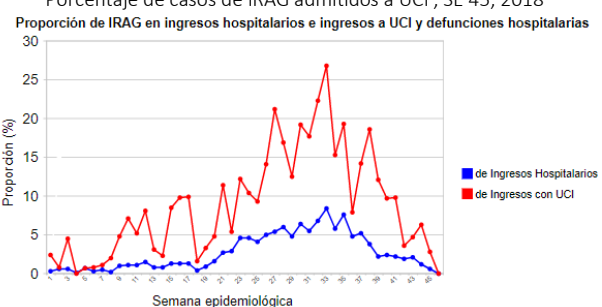


*To view more epi data, view [here](#). / Para ver mas datos epi, vea [aquí](#).

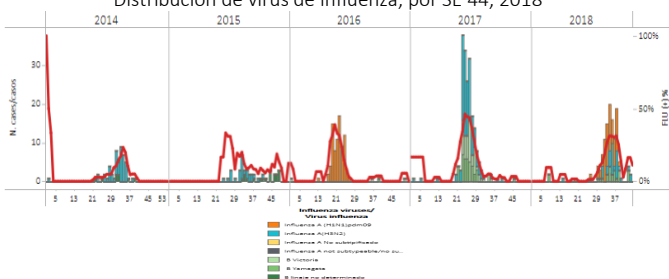
Uruguay

- In EW 44, decreased influenza activity was reported (Graphs 3, 4); with decreased RSV positivity (Graph 2). During EW 41 to 45, the proportion of SARI cases among all hospitalizations, the proportion of SARI case requiring ICU admission and the proportion of SARI-associated cases decreased from previous weeks (Graph 1, 5). During EW 40, 2018, the cumulative influenza-positive SARI cases that required ICU (21) were similar to the previous season, while there was no influenza-positive SARI-associated death reported, as compared to the previous season (with 2 influenza-positive SARI deaths). Likewise, all the SARI deaths and 34% of the SARI cases requiring UCI, reported at least one risk factor. / Durante la SE 44, se reportó menor actividad de influenza (Gráficos 3, 4); con positividad de VSR disminuida (Gráfico 2). Durante las SE 41 a 45, la proporción de casos de IRAG del total de hospitalizaciones, la proporción de casos de IRAG con admisión a UCI y la proporción de fallecidos por IRAG disminuyeron en relación a las semanas anteriores (Gráfico 1). Durante la SE 40 de 2018, los casos acumulados de IRAG positivos para influenza que requirieron UCI (21) fueron similares a la temporada previa, en tanto no se reportó ningún fallecido por IRAG positivo para influenza, en comparación a la temporada anterior (con dos fallecidos por IRAG positivos para influenza). Así mismo, todos los fallecidos por IRAG y 34% de los casos de IRAG que requirieron UCI, reportaron al menos un factor de riesgo.

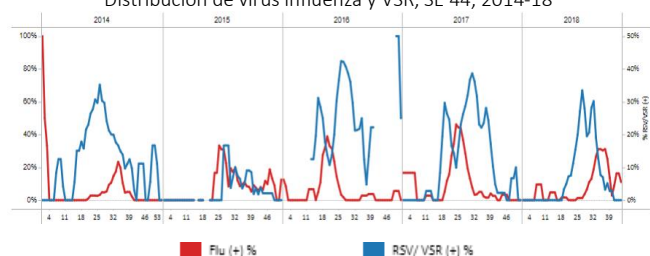
Graph 1. Uruguay: % SARI cases requiring ICU admission, EW 45, 2018;
Porcentaje de casos de IRAG admitidos a UCI , SE 45, 2018



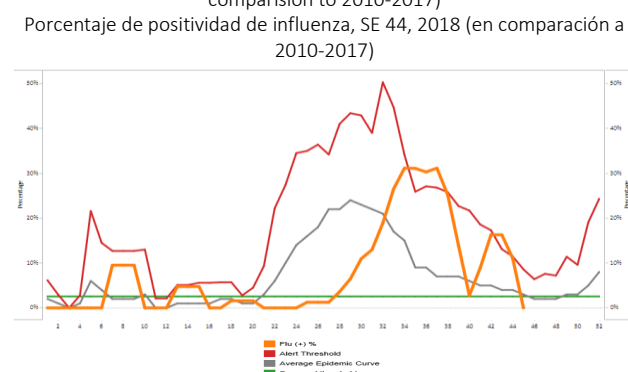
Graph 3. Uruguay: Influenza virus distribution by EW 44, 2018
Distribución de virus de influenza, por SE 44, 2018



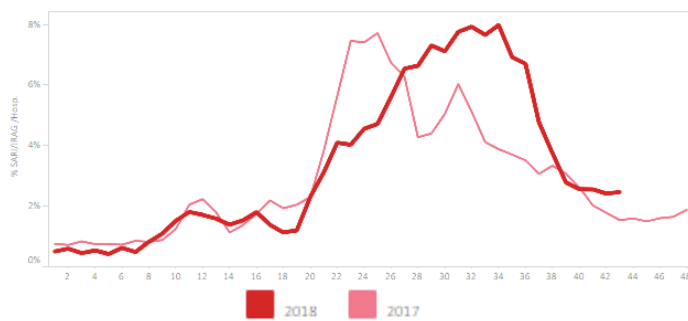
Graph 2. Uruguay: Influenza and RSV distribution, EW 44, 2014-18
Distribución de virus influenza y VSR, SE 44, 2014-18



Graph 4. Uruguay: Percent positivity for influenza, EW 44, 2018 (in comparison to 2010-2017)
Porcentaje de positividad de influenza, SE 44, 2018 (en comparación a 2010-2017)



Graph 5. Uruguay: Percent of SARI cases per total hospitalizations, EW 43, 2017-2018
Porcentaje de casos IRAG por total hospitalizaciones, SE 43, 2017-2018



*To view more epi data, view [here](#). / Para ver mas datos epi, vea [aquí](#).

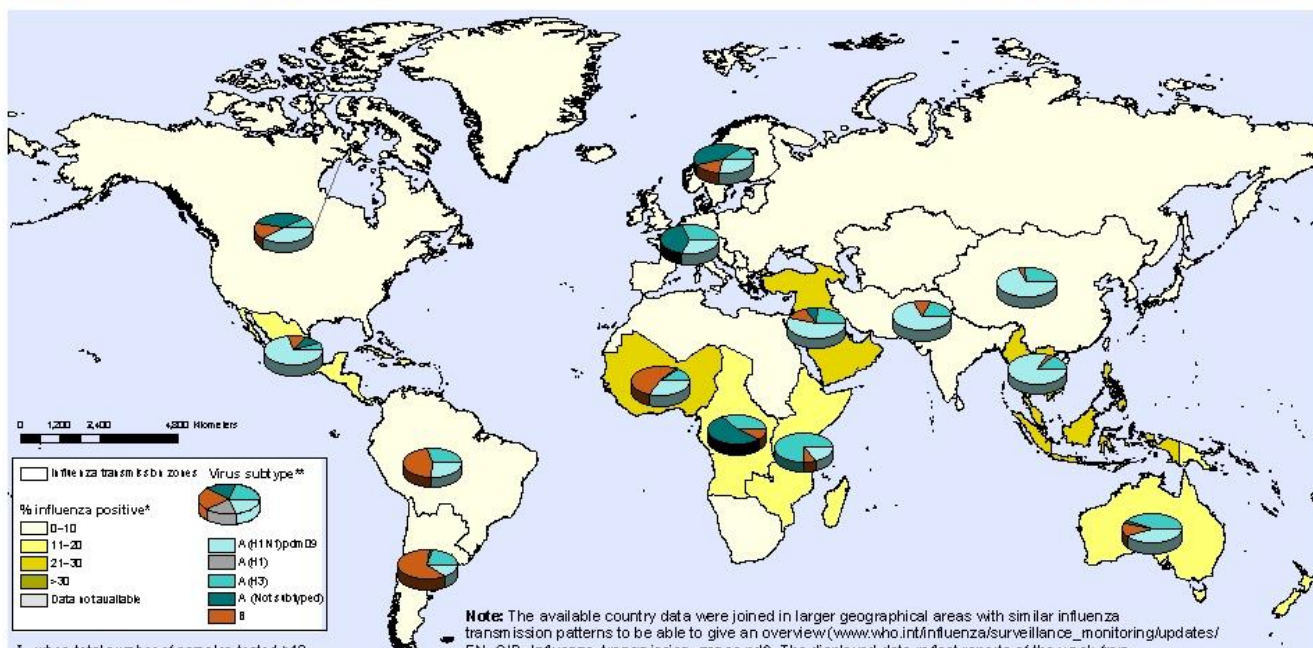
In the temperate zone of the northern hemisphere influenza activity remained at inter-seasonal levels. Increased influenza detections were reported in some countries of Southern and South-East Asia. In the temperate zones of the southern hemisphere, influenza activity returned to nearly inter-seasonal levels. Worldwide, seasonal influenza subtype A viruses accounted for the majority of detections. / En la zona templada del hemisferio norte, la actividad de influenza se mantuvo en niveles interestacionales. En algunos países de Asia meridional y sudoriental se notificó un aumento de las detecciones de influenza. En las zonas templadas del hemisferio sur, la actividad de influenza regresó a niveles casi inter-estacionales. En todo el mundo, los virus de subtipo A de influenza estacional representaron la mayoría de las detecciones.

National Influenza Centres (NICs) and other national influenza laboratories from 104 countries, areas or territories reported data to FluNet for the time period from 15 October to 28 October 2018. The WHO GISRS laboratories tested more than 84313 specimens during that time period. 2145 were positive for influenza viruses, of which 1845 (86%) were typed as influenza A and 300 (14%) as influenza B. Of the sub-typed influenza A viruses, 905 (64.5%) were influenza A(H1N1)pdm09 and 499 (35.5%) were influenza A(H3N2). Of the characterized B viruses, 54 (52.4%) belonged to the B-Yamagata lineage and 49 (47.6%) to the B-Victoria lineage. / Los Centros Nacionales de Influenza (NICs) y otros laboratorios nacionales de influenza de 104 países, áreas o territorios, reportaron datos a FluNet en el período del 15 de octubre al 28 de octubre de 2018. Los laboratorios de la OMS GISRS realizaron pruebas a más de 84313 muestras durante ese período. 2145 tuvieron resultado positivo para virus influenza, de los cuales 1845 (86%) fueron tipificados como influenza A y 300 (14%) como influenza B. De los virus influenza A subtipificados, 905 (64,5%) fueron influenza A(H1N1)pdm09 y 499 (35,5%) fueron influenza A(H3N2). De los virus influenza B caracterizados, 54 (52,4%) fueron del linaje B-Yamagata y 49 (47,6%) fueron del linaje B-Victoria.

Percentage of respiratory specimens that tested positive for influenza

By influenza transmission zone

Status as of 09 November 2018



The boundaries and names shown and the designations used on this map do not imply the expression of any opinion whatsoever on the part of the World Health Organization concerning the legal status of any country, territory, city or area or of its authorities, or concerning the delimitation of its frontiers or boundaries. Dotted and dashed lines on maps represent approximate border lines for which there may not yet be full agreement.

Data Source:
 Global Influenza Surveillance and Response System (GISRS),
 FluNet (www.who.int/FluNet)


World Health Organization
 ©WHO 2018. All rights reserved.

This report summarizes³ the epidemiological and virological features of the laboratory-confirmed human cases of infection with influenza viruses of animal origin from 22 September to 1 November, 2018⁴.

- **Risk assessment:** The overall public health risk from currently known influenza viruses at the human-animal interface has not changed, and the likelihood of sustained human-to-human transmission of these viruses remains low. Further human infectious with viruses of animal origin are expected.
- **Risk management:** Selection of new candidate vaccine viruses (CVVs) for zoonotic influenza for influenza pandemic preparedness purposes was done during a recent WHO consultation.
- **IHR compliance:** All human infections caused by a new influenza subtype are required to be reported under the International Health Regulations (IHR 2005). Information from these notifications is critical to inform risk assessments for influenza at the human-animal interface. /

Este reporte resume⁵ las características epidemiológicas y virológicas de los casos confirmados en laboratorio de infección por virus influenza de origen animal del 22 de septiembre al 1 de noviembre de 2018⁶.

- **Evaluación de riesgo:** El riesgo general para la salud pública de los virus influenza conocidos en la interfaz entre humanos y animales no ha cambiado, y la probabilidad de transmisión sostenida de estos virus sigue siendo baja. Se esperan más infecciones humanas con virus de origen animal.
- **Gestión de riesgos:** durante una reciente consulta de la OMS, se realizó la selección de nuevos virus de vacuna candidata (CVV) para la influenza zoonótica con fines de preparación para una pandemia de influenza.
- **Cumplimiento del RSI:** Todas las infecciones humanas causadas por un nuevo subtipo de influenza deben informarse según el Reglamento Sanitario Internacional (RSI 2005). La información de estas notificaciones es fundamental para informar las evaluaciones de riesgo para la influenza en la interfaz humano-animal.

Avian influenza viruses / Virus influenza aviar

Avian influenza A(H5) viruses / Virus influenza aviar A(H5)

Since 21 September 2018, two new laboratory-confirmed human case of influenza A(H5N6) virus infection were reported. On 30 September 2018, China reported a case in a 22-year-old male in Guangdong Province who developed symptoms on September 2018. He was admitted to hospital one day later with severe pneumonia and was in critical condition at the time of reporting. The patient reported exposure to live poultry before illness onset. Monitoring of his close contacts was ongoing at the time of reporting.

On 31 October 2018, a second case was reported to WHO from China: a 44-year-old male in Guangxi Zhuang Autonomous Region, China, who developed symptoms on 18 October 2018. The patient was admitted to hospital on 21 October and passed away on 27 October. The patient did not have a history of contact with live poultry before illness onset. Monitoring of his close contacts was ongoing at the time of reporting.

A total of 22 laboratory-confirmed cases of human infection with influenza A(H5N6) virus have been reported to WHO from China since 2014. /

Desde el 21 de septiembre de 2018, se reportaron dos nuevos casos de infección por virus de influenza A(H5N6) en humanos confirmados en el laboratorio.

El 30 de septiembre de 2018, China reportó un caso en un hombre de 22 años en la provincia de Guangdong que desarrolló síntomas en septiembre de 2018. Un día después ingresó en el hospital con una neumonía grave y se encontraba en estado crítico al momento de la notificación. El paciente informó sobre la exposición a aves de corral vivas antes del inicio de la enfermedad. El seguimiento de sus contactos cercanos estaba en curso en el momento de la presentación de informes.

³ For epidemiological and virological features of human infections with animal influenza viruses not reported in this assessment, see the yearly report on human cases of influenza at the human-animal interface published in the Weekly Epidemiological Record. www.who.int/wer/en/

⁴ WHO (2018) Influenza at the human-animal interface Summary and assessment. Available at: http://www.who.int/influenza/human_animal_interface/HAI_Risk_Assessment/en/

⁵ Para conocer las características epidemiológicas y virológicas de las infecciones humanas con virus de influenza animal no reportadas en esta evaluación, consulte el informe anual sobre casos humanos de influenza en la interfaz humano-animal publicado en el Reporte Epidemiológico Semanal. Disponible en: www.who.int/wer/en/

⁶ OMS (2018) Influenza en la interfaz humano-animal Resumen y evaluación. Disponible en: http://www.who.int/influenza/human_animal_interface/HAI_Risk_Assessment/en/

El 31 de octubre de 2018, se reportó un segundo caso a la OMS de China: un varón de 44 años de edad, en la Región Autónoma de Guangxi Zhuang, China, que desarrolló síntomas el 18 de octubre de 2018. La paciente fue ingresada en el hospital el 21 de octubre y falleció el 27 de octubre. El paciente no tenía antecedentes de contacto con aves de corral vivas antes del inicio de la enfermedad. El seguimiento de sus contactos cercanos estaba en curso en el momento de la presentación de informes. Un total de 22 casos confirmados en laboratorio de infección humana con el virus de la influenza A (H5N6) han sido reportados a la OMS desde China desde 2014.

Avian influenza A(H7N9) viruses / Virus influenza aviar A(H7N9)

According to reports from mainland and the Hong Kong Special Administrative Region China and those received by the World Organisation for Animal Health (OIE), A(H7N9) avian influenza viruses continue to be detected in China but at lower levels compared to previous years. A nationwide domestic poultry vaccination campaign began in 2017. Overall, the risk assessment has not changed. /

Según los informes de China continental y de la Región Administrativa Especial de Hong Kong y los recibidos por la Organización Mundial de Sanidad Animal (OIE), los virus de la influenza aviaria A (H7N9) continúan detectándose en China, pero a niveles más bajos en comparación con años anteriores. En 2017 se inició una campaña nacional de vacunación de aves de corral a nivel nacional. En general, la evaluación de riesgos no ha cambiado.

ACRONYMS

ARI	Acute Respiratory Infection
CARPHA	Caribbean Public Health Agency
CENETROP	Centro de Enfermedades Tropicales (Santa Cruz, Bolivia)
EW	Epidemiological Week
ILI	Influenza-like illness
INLASA	Instituto Nacional de Laboratorios de Salud (La Paz, Bolivia)
INS	Instituto Nacional de Salud
ORV	Other respiratory viruses
SARI	Severe acute respiratory infection
SEDES	Servicio Departamental de Salud (Bolivia)
ICU	Intensive Care Unit
RSV	Respiratory Syncytial Virus

ACRÓNIMOS

CARPHA	Agencia de Salud Pública del Caribe/Caribbean Public Health Agency
CENETROP	Centro de Enfermedades Tropicales (Santa Cruz, Bolivia)
ETI	Enfermedad Tipo influenza
INLASA	Instituto Nacional de Laboratorios de Salud (La Paz, Bolivia)
INS	Instituto Nacional de Salud
IRA	Infección Respiratoria Aguda
IRAG	Infección Respiratoria Aguda grave
OVR	Otros virus respiratorios
SE	Semana epidemiológica
SEDES	Servicio Departamental de Salud (Bolivia)
UCI	Unidad de Cuidados Intensivos
VSR	Virus Sincitial Respiratorio